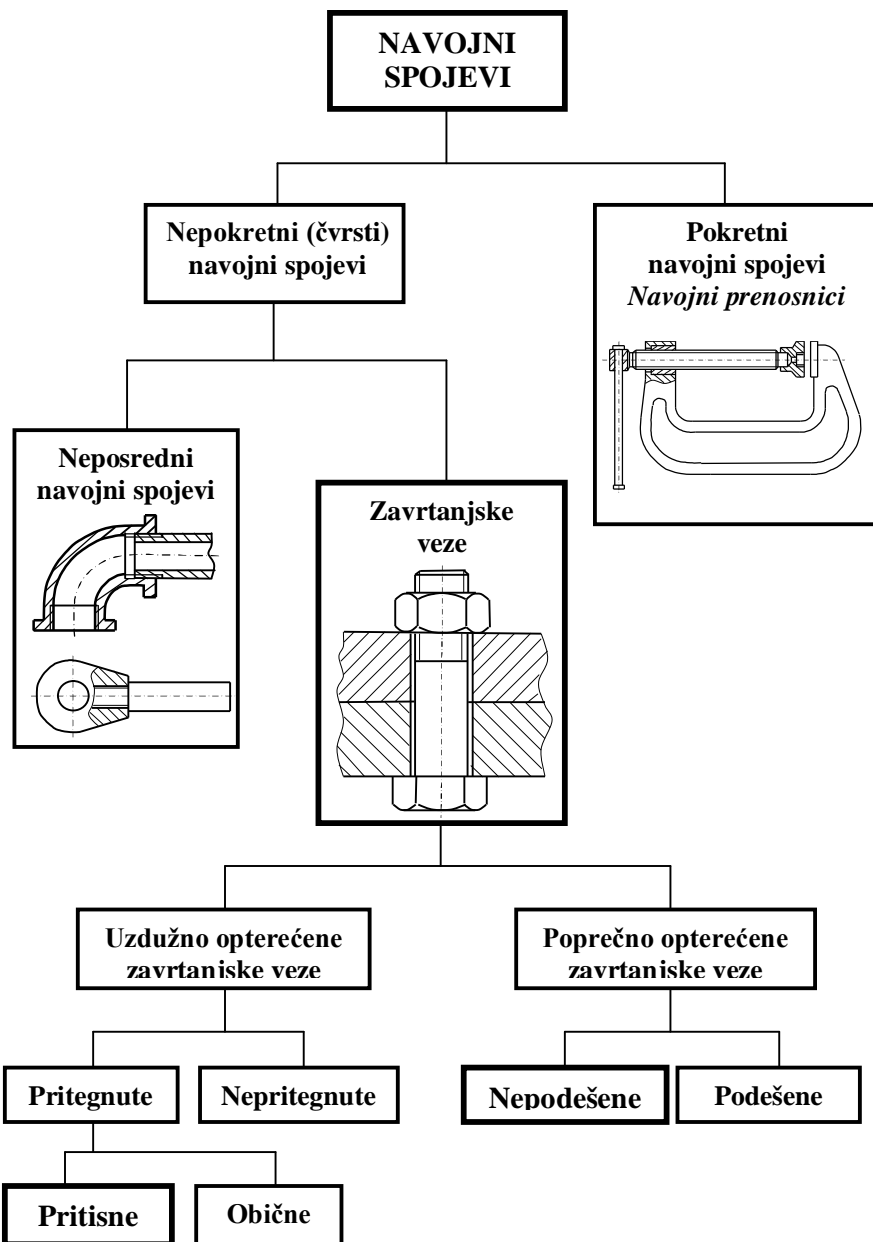


NAVOJNI SPOJEVI

Navojni spojevi se ostvaruju posredstvom navoja. Navoj može biti izradjen neposredno na delovima koji se spajaju - neposredni navojni spojevi ili na posebnim delovima kao što su navojna vretena, zavrtnji, navrtke koji se koriste za realizaciju posrednih navojnih spojeva (sl.1). Delovi u spoju mogu izvršavati funkciju tačno definisanog medjusobnog kretanja ili funkciju obezbeđenjem čvrste veze - spoja. Pokretni navojni spojevi osim za transformaciju kretanja mogu se koristiti i za transformaciju mehaničke energije i predstavljati **navojne prenosnike**. Nepokretni navojni spojevi koji se ostvaruju pomoću zavrtnja i navrtke poznati su kao **zavrtanske veze**.

Zavrtanske veze mogu prenositi opterećenje u pravcu ose zavrtnja – *uzdužno opterećene zavrtanske veze* ili opterećenje koje deluje popreko u odnosu na osu zavrtnja – *poprečno opterećene zavrtanske veze*. Funkcija uzdužno opterećenih zavrtanskih veza se zasniva na relativno velikom pritezanju zavrtnja. Sila pritezanja je potrebna ili za obezbeđenje zaptivanja na dodiru spojenih delova posredstvom pritiska na ovom dodiru - pritisne zavrtanske veze, ili samo radi poboljšanja raspodele radne sile - obične zavrtanske veze. Neke uzdužno opterećene zavrtanske veze ne smeju se pritezati jer bi sila pritezanja dovela do nepotrebног opterećivanja delova u spoju - nepritegnute uzdužno opterećene zavrtanske veze. Poprečno opterećene zavrtanske veze dele se u dve grupe. Prvu čine one kod kojih se opterećenje prenosi posredstvom otpora trenja između spojenih delova i zovu se frikcione odnosno nepodešene zavrtanske veze. U drugoj grupi su one poprečno opterećene zavrtanske veze kod kojih se opterećenje prenosi smicanjem stabla zavrtnja tj. smicajne ili podešene. Najširu primenu imaju **nepodešene** (frikcione) poprečno opterećene zavrtanske veze, a zatim **pritisne** uzdužno opterećene zavrtanske veze.

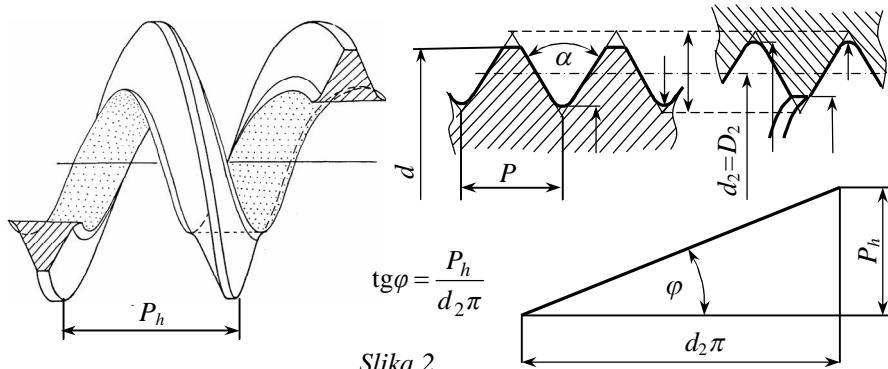


Slika 1.
Podela navojnih spojeva

Navoj i navojni parovi

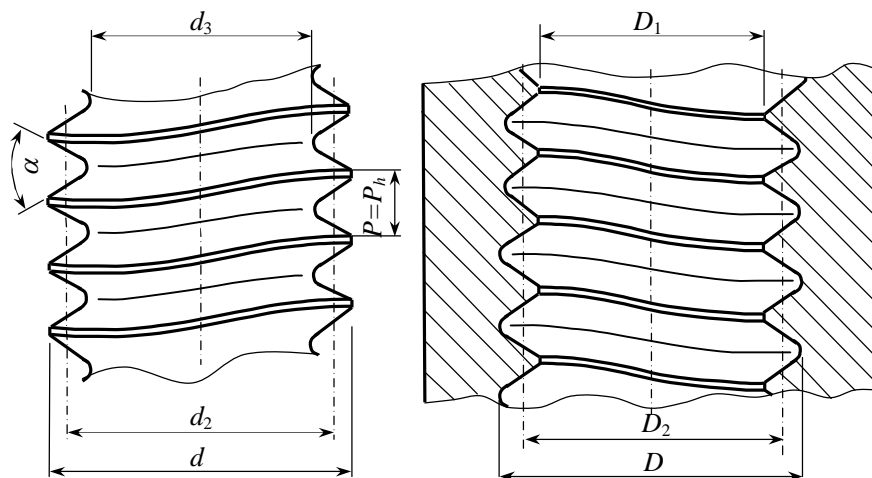
Parametri navoja i navojnih parova

Navoj je geometrijsko telo koje nastaje zavojnim kretanjem geometrijske slike u obliku trougla. Zavojno kretanje je složeno od rotacije i translacije. Svaka tačka na trouglu pri tom opisuje prostornu krivu liniju - zavojnicu, a svaka stranica na trouglu opisuje zavojnu površinu te je navoj ograničen zavojnim površinama. Trougao, koji opisuje navoj zavojnim kretanjem, predstavlja teorijski profil navoja. Stvarni profil se razlikuje od teorijskog usled zaobljavanja i zasecanja u zoni temena trougla. Zaobljavanje se vrši radi smanjivanja koncentracije napona, a zasecanje radi sprečavanja da oštре ivice zadiru u zaobljenja. Navojak je deo navoja koji nastaje pri jednom punom obrtu profila. Zavojak je deo zavojnice koji tačka opiše pri jednom obrtu. Hod zavojnice (navoja) (P_h) je aksijalno rastojanje između krajnjih tačaka zavojka. Korak navoja (P) je aksijalno rastojanje susednih navojaka. Navoj može biti jednovojni ako nastaje zavojnim kretanjem jednog trougla. Kod jednovojnog odnosno jednostrukog navoja hod navoja je jednak koraku ($P_h = P$). Ako je navoj dvovojni (dvostruki) pri njegovom obrazovanju kreću se dva trougla tako da je $P_h=2P$, kod trovojnog $P_h=3P$ odnosno kod viševojnog $P_h=zP$, gde je z broj hodova odnosno broj početaka navoja. Ugao profila navoja (α) je ugao između bočnih stranica profila. Ugao navoja (φ) je ugao između tangente na zavojnicu i njene projekcije na ravan upravnu na osu navoja. Kada se jedan zavojak ispravi (odvije) dobija se trougao čija je hipotenuza ispravljeni zavojak. Navoj je po pravilu desni, a izuzetno može biti i levi. Pri zavojnom kretanju, pri udaljavanju od posmatrača, kod desnog navoja tačka rotira u desnom smeru (u smeru kazaljke na satu), a kod levog navoja ova rotacija je u levom smeru.



Navoj: parametri i profil navoja

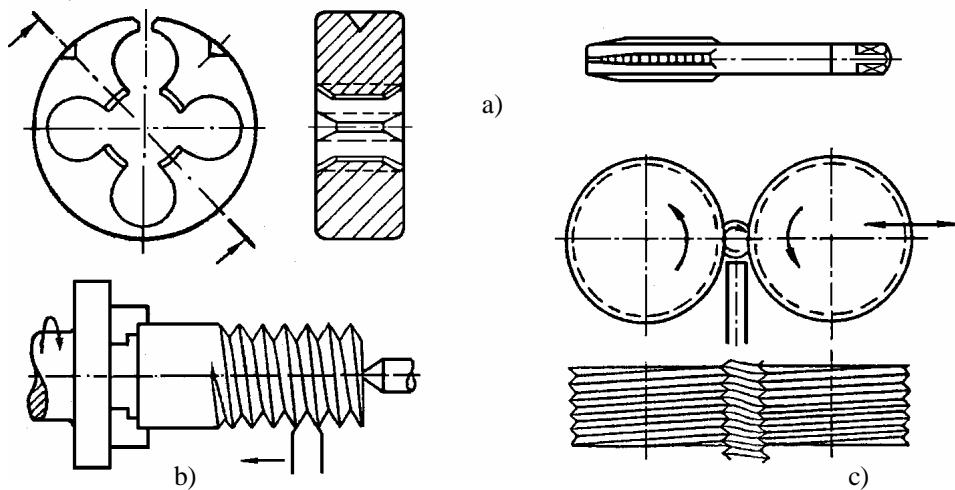
Navoj može biti spoljašnji i unutrašnji. Kod spoljašnjeg navoja geometrijske slike u vidu trougla vrše zavojno kretanje sa spoljne strane cilindra, a kod unutrašnjeg navoja sa unutrašnje strane cilindra. Spoljni prečnik spoljnog navoja je nazivni prečnik navoja d . Veliki prečnik unutrašnjeg navoja označava se sa D koji je po pravilu nešto veći od prečnika d . Srednji prečnik spoljnog navoja označava se sa d_2 , a unutrašnjeg navoja sa D_2 . Mali prečnik spoljnog navoja d_3 je istovremeno i prečnik jezgra navoja. Jezgro je deo spoljnog navoja ograničeno podnožnim cilindrom. Mali prečnik unutrašnjeg navoja je D_1 .



Slika 3
Geometrijske mere navoja: a) spoljašnjeg, b) unutrašnjeg

Navojni par je spoj unutrašnjeg i spoljnog navoja istog profila, istog smera zavojnice, istih srednjih prečnika $d_2=D_2$ odnosno istog nazivnog prečnika d . Aksijalno rastojanje između krajnjih tačaka dodira spoljnog i unutrašnjeg navoja u navojnom paru je *dužina nošenja* navojnog para l_n . Radijalno rastojanje između krajnjih tačaka dodira navojaka navojnog para je *dubina nošenja* H_l .

Izrada navoja može biti izvedena narezivanjem primenom ručnih alata - nareznica i ureznica prikazane na slici 4a. Osim toga navoj može biti izradjen rezanjem na strugu (sl.4b), glodanjem. Navoj povećane preciznosti se još i brusi. Najproduktivniji je postupak hladnog valjanja navoja - sl.4c koji se uglavnom koristi za izradu standardnih navojnih delova. Ovaj postupak, osim produktivnosti doprinosi značajnom povećanju čvrstoće i izdržljivosti navojnih delova jer se pri utiskivanju navoja ostvaruje hladno deformisanje.



Slika 4.

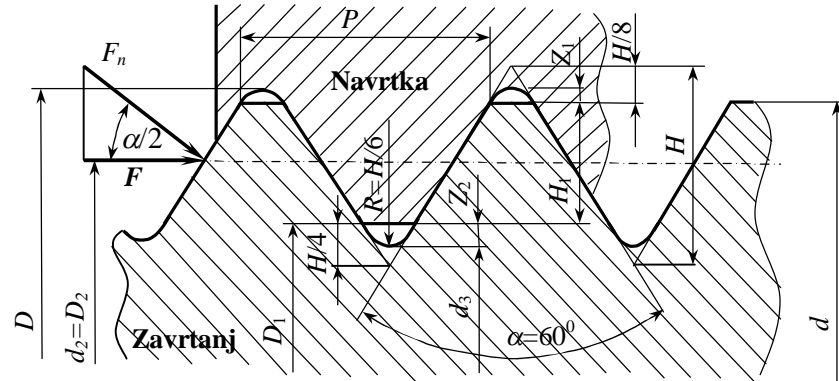
Izrada navoja: a) nareznice i ureznice za ručnu izradu navoja,
b) rezanje navoja na strugu, c) valjanje navoja

Standardni profili navoja

Varijacijom ugla profila α i varijacijom radijusa zaobljenja u korenu navoja, mogu nastati različiti profili. U primeni su se zadržali oni koji svojim svojstvima u najvišem stepenu zadovoljavaju odgovarajuće potrebe. Oblici i dimenzije tih navoja su standardizovane. Najviše je u primeni navoj sa trouglastim profilom - **metrički navoj**. Ovo je prvi navoj čije su dimenzije standardizovane u metričkom sistemu jedinica i u to vreme je nazvan metrički navoj. Ugao profila ovog navoja je $\alpha=60^\circ$ i on određuje njegove glavne osobine i područje primene. Na slici 5 prikazan je navojni par sa navojem trouglastog profila sa osnovnim merama. Temeno skraćenje unutrašnjeg navoja je relativno veliko ($H/4$), profili navojaka su zbog velikog ugla α , na malom medjusobnom rastojanju. Time su stvoreni uslovi za veliki radius zaobljenja u korenu spoljnog navoja ($R=H/6$). Ovaj radius doprinosi značajnom smanjenju koncentracije napona u odnosu na druge navoje, na primer u odnosu na trapezni navoj. Smanjivanjem praznih medjuprostora između navojaka povećana je aktivna noseća površina na jedinici dužine nošenja l_n . Povećani ugao profila α odrazio se na povećanje otpora trenja pri kretanju pod opterećenjem

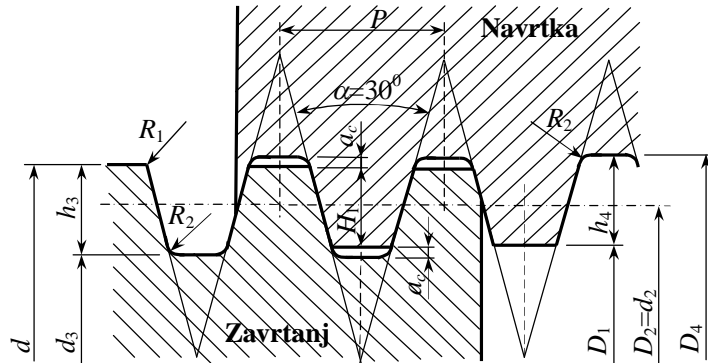
$$F_\mu = F_n \mu = \frac{F}{\cos(\alpha/2)} \mu = F \cdot \mu_n ; \quad \mu_n = \frac{\mu}{\cos(\alpha/2)} ,$$

tj. koeficijent otpora μ_n je veći od koeficijenta trenja pri dodiru ravnih površina.



Slika 5
Metrički navoj: oblik profila u navojnom paru i dimenzije

U odnosu na metrički navoj, **trapezni navoj** je sa smanjenim uglom profila $\alpha=30^\circ$ te je visina teorijskog profila H jako uvećana. Pri prelasku na stvarni profil, izvršeno je veliko skraćivanje, a između navojaka su stvoreni veliki prazni medjuprostori odnosno smanjena je aktivna noseća površina na dužini nošenja l_n . Radijus zaobljenja u korenu navoja je mali jer je smešten u prostoru temenog zazora. Veličina ovog radijusa kreće se u granicama $R=0,2..0,5$ mm te ovaj navoj nije pogodan za visoka i dinamička opterećenja. Usled smanjenog ugla profila α , u odnosu na metrički navoj, koeficijent otpora μ_n je smanjen što ovaj navoj čini pogodnijim za pokretne navojne spojeve. Kod ovih spojeva funkcija se ostvaruje stalnim kretanjem, a opterećenja su manja i manje su dinamična. Ipak i u ovom uslovima dosta se primenjuje i metrički navoj. Na slici 6 prikazan je profil trapeznog navoja sa odgovarajućim dimenzijama.



Slika 6.
Trapezni navoj: oblik profila u navojnom paru i dimenzije

Označavanje navoja je predviđeno tako da se iz oznake može videti vrsta i dimenzije navoja. Metrički navoj se označava sa Md odnosno $MdxP$. U prvom slučaju metrički navoj je krupnog koraka, a u drugom slučaju je metrički navoj sitnog koraka tj. metrički fini navoj. Sitan korak smanjuje aksijalno pomeranje pri jednom obrtu navojnih delova i smanjuje dubinu navoja. U tablici 1 dat je skraćeni pregled kombinacija prečnika i koraka navoja. Prečnici su razvrstani u tri stepena prioriteta, a primenjuju se uglavnom oni prvog stepena prioriteta. U tablici 1 dati su i obrazci za izračunavanje dimenzija navoja, a u tablici 2 za prioritetne navoje date su izračunate dimenzije. Trapezni navoj se označava sa $TrdxP$, prečnici su razvrstani u dva stepena prioriteta, a korak može biti normalan, sitan i krupan. U tablicama 3 i 4 date su kombinacije prečnika i koraka i dimenzije navoja.

Drugi profili navoja razvijani su s ciljem da se poprave neke od osobina navoja. Tako je nastalo mnogo navoja od kojih danas neki nisu u primeni, a neki se primenjuju samo za posebne svrhe. U ovu grupu može se svrstati cevni navoj koji je sitnog koraka kako nebi zadira duboko i smanjivao debljinu zida cevi. U ovu svrhu se primenjuje metrički navoj sitnog koraka koji je u određenoj meri konusan radi boljeg stezanja pri spajanju cevi. Temeni zazor kod metričkog navoja čini to da ovaj navoj nije hermetičan. Iz tog razloga je standardizovan i Vitvortov cevni navoj koji je sa uglom profila 55^0 ali je bez temenog zazora. Nazivni prečnici ovog navoja se izražavaju u inčima ali su sve druge mere standardizovane u milimetrima. Zbog male razlike u dimenzijama moguće je sprezzati metrički cevni navoj i Vitvortov cevni navoj.

Da bi se zadržale dobre osobine i metričkog i trapeznog navoja nastao je **kosi navoj** koji je nesimetričnog profila. Jedan bok je sa vrlo malim uglom od 3^0 i on prenosi opterećenje usled čega su i otpori kretanja smanjeni. Drugi profil je pod uglom od 30^0 što je omogućilo da se stvari prostor za smeštaj velikog radijusa zaobljenja u korenu navoja i smanji koncentracija napona. Smanjeni su i prazni medjuprostori izmedju navojaka. Pošto ovaj drugi bok ne prenosi opterećenje to je kosi navoj namenjen za prenos sila koje dejstvuju samo u jednom smeru. Prečnici i koraci su isti kao i kod trapeznog navoja, a označava se sa $SdxP$. Ovaj navoj ipak nije našao ozbiljniju primenu.

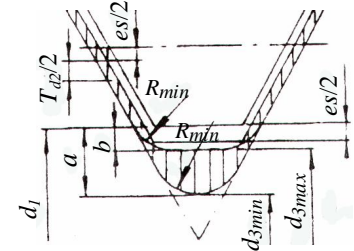
Standardizovan je još i **obli navoj** (R_{ddxP}) koji je ovaj naziv dobio po veoma velikom zaobljenju tako da je polazni profil oblika trougla prešao u polukrug. Odlikuje se velikim temenim zazorima i malom dodirnom površinom izmedju navojaka. Kroz ove zazore može da prolazi prljavština pa se sporadično može primeniti u zaprljanoj sredini, na primer na železnici. Zbog velikog zaobljenja pogodan je za presovanje u limu i kao takav našao je primenu kod sijaličnih grla

kao Edisonov navoj. Osim ovih treba spomenuti navoje za lim i za drvo koji se koriste bez navrtke jer sebi sami prosecaju prolaz kroz otvor u limu i kroz drvo.

Tablica 1. Prečnici i korak metričkog navoja prema ISO 261

Nominalni prečnik			Korak		Nominalni prečnik			Korak	
Stepen prioriteta			Krupan korak	Sitan korak	Stepen prioriteta			Krupan korak	Sitan korak
I	II	III			I	II	III		
1 1,2	1,1 1,4		0,25 0,25 0,25 0,3	0,2 0,2 0,2 0,2	36 39 35,38	32	3,5 4	2 (3) 3 3	1,5 2 2 1,5
			0,35 0,35 0,4 0,45 0,45	0,2 0,25 0,25 0,35		40		3 4 5	2 2 2 1,5
			0,5 0,6 0,7 0,75 0,8	0,35 0,35 0,5 0,5 0,5		52	55 56 60 62	4 5,5 5,5 6	3 3 3 2 2 1,5
			1 3,5 4,5 5,5	0,75 0,75 0,8 1		68		4 4 4 4	3 3 3 2 2 1,5
8 10	7 9 11		1 1,25 1,25 1,5 1,5	0,75 1 0,75 1 0,75 1,25 1 0,75 1 0,75	72 80	70	75 78 82	6 6 4 4	4 3 2 1,5 4 3 2 1,5 2 3 2 1,5
			1,75 2 2	1,5 1,25 1 1,5 1,25 1 1,5 1		85, 95 105, 115 110, 125		6 6 6 6	4 3 2 4 3 2 4 3 2 4 3
			2 2,5 2,5 3	1,25 1 1,25 1 2 1,5 1 2 1,5 1		135 145 120, 130 140		4	3 2 1,5
			17	1,5 1		155, 165			
20 24	18 22 25		2,5 2,5 2,5 3	2 1,5 1 2 1,5 1 2 1,5 1 2 1,5 1	160 180 200 220	170 190 210 240	175, 185 195, 205 215, 225 230, 235	6 6 6 6	4 3 4 3 4 3 4 3
			2 2,5 2,5 2	1,25 1 1,25 1 2 1,5 1 2 1,5 1		250		4	3
			27 28	1,5 2 1,5 1 2 1,5 1 (3) 2 1,5 1		280		55, 265 270, 275 285, 290	4
			30	3 3,5		300		295	4
<p>The diagram illustrates the cross-section of a metric thread. Key dimensions shown are: <ul style="list-style-type: none"> Major diameter: P Minor diameter: H Pitch: P Depth of engagement: D, d Bottom of thread: D_2, d_2 Bottom of thread: D_1, d_1 Width of thread root: $P/8$ Width of thread root: $P/2$ Width of thread root: $P/4$ Width of thread root: $H/4$ Width of thread root: $H/8$ Angle at the bottom of the thread: 60° Height from the bottom of the thread to the top of the crest: $(3/8)H$ Height from the bottom of the thread to the top of the crest: $(5/8)H$ Mathematical formulas derived from the diagram: $H = (\sqrt{3}/2)P$ $D_2 = D - 2(3/8)H = D - 0,6495P$ $d_2 = d - 2(3/8)H = d - 0,6495P$ $D_1 = D - 2(5/8)H = D - 1,0825P$ $d_1 = d - 2(5/8)H = d - 1,0825P$ </p>									

Tablica 2. Osnovne dimenzije navoja za zavrtnje

Nomin. prečnik <i>d=D</i> mm	Korak <i>P</i> mm	Srednji prečnik <i>d₂=D₂</i> mm	Dubina nošenja <i>H_I</i> mm	Noseći presek <i>A_S</i> mm ²	Prečnik jezgra <i>d₃</i> mm	Ugao zavojnice <i>φ</i> stepeni
I II						
Metrički navoj krupnog koraka						
1	0,25	0,838	0,135	0,460	0,693	5,43
1,2	0,25	1,038	0,135	0,732	0,893	4,38
1,6	0,35	1,373	0,189	1,270	1,170	4,64
2	0,40	1,740	0,217	2,070	1,509	4,19
2,5	0,45	2,208	0,244	3,390	1,948	3,71
3	0,50	2,675	0,271	5,030	2,387	3,41
	3,5	0,60	3,110	0,325	6,780	3,51
4	0,70	3,545	0,379	8,780	3,141	3,60
	4,5	0,75	4,013	0,406	11,3	3,580
5	0,80	4,480	0,433	14,2	4,019	3,25
6	1	5,350	0,541	20,1	4,773	3,41
8	1,25	7,188	0,677	36,6	6,466	3,17
10	1,5	9,026	0,812	58,0	8,160	3,03
12	1,75	10,863	0,947	84,3	9,853	2,94
	14	2	12,701	1,083	115	11,546
16	2	14,701	1,083	157	13,546	2,48
18	2,5	16,376	1,353	193	14,933	2,78
20	2,5	18,376	1,353	245	16,933	2,48
22	2,5	20,376	1,353	303	18,933	2,24
24	3	22,051	1,624	353	20,319	2,48
27	3	25,051	1,624	459	23,319	2,18
30	3,5	27,727	1,894	561	25,706	2,30
33	3,5	30,727	1,894	694	28,706	2,08
36	4	33,402	2,165	817	31,093	2,19
39	4	36,402	2,165	976	34,093	2,00
Metrički navoj sitnog koraka						
8	1	7,350	0,541	39,2	6,773	2,48
10	1,25	9,188	0,676	61,2	8,466	2,48
12	1,25	11,188	0,676	92,1	10,466	2,04
16	1,5	15,026	0,811	167	14,160	1,82
20	1,5	19,026	0,811	172	18,160	1,44
24	2	22,701	1,082	384	21,546	1,61
30	2	28,701	1,082	621	27,546	1,27
36	3	34,051	1,623	865	32,319	1,61
 $A_S = \frac{\pi}{4} \left(\frac{d_2 + d_3}{2} \right)^2$ $R = 0,14434P$ $d_3 = d_1 - H/6$ $R_{\min} = 0,125P$ $d_{3\min} = d_1 - 2a$ $d_{3\max} = d_1 - 2b$ $a = H/4 - R_{\min} = 0,107H$ $b = R_{\min} \left[1 - \cos \left(\frac{\pi}{3} - \arccos \left(1 - \frac{T_{d2}}{4R_{\min}} \right) \right) \right] + \frac{T_{d2}}{2}$						

Tablica 3. Pregled standardnih prečnika i koraka trapeznog navoja u mm

Nazivni prečnik <i>d</i> mm Stepen prioriteta		Korak navoja <i>P</i> u mm			Nazivni prečnik <i>d</i> mm Stepen prioriteta		Korak navoja <i>P</i> u mm		
I	II	normalni	sitni	krupni	I	II	normalni	sitni	krupni
8	9	1,5			70	75	10	4	16
10	11	2	1,5		80	85	10	4	16
12	14	3	2	3	90	95	12	4	18
16	18	4	2		100	110	12	4	20
20	22	4	2		120	130	14	6	22
24	26	5	3	8	140		14	6	24
28	30	5	3	8	160		16	6	28
32	34	6	3	10	180		18	8	28
36	38	6	3	10	200		20	8	32
40	42	7	3	10	220		20	8	36
44	46	7	3	12	240		22	8	36
48	50	8	3	12	260		22	12	40
52	55	8	3	12	280		24	12	40
60	65	9	3	14	300		24	12	44
		9	3	14			24	12	44
		10	4	16					

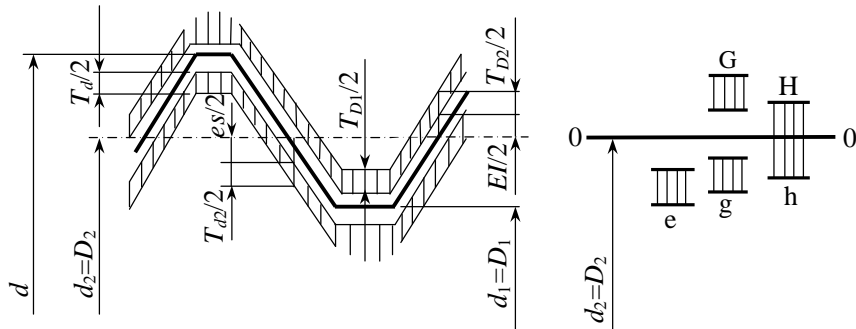
<i>P</i>	<i>a_c</i>	<i>R_{1max}</i>	<i>R_{2max}</i>	Mere navoja: $\alpha=30^\circ$; $H=1,866P$; $H_1=0,5P$; $H_4=0,5P+a_c$ $H_3=0,5P+a_c$; $d_2=D_2=d-0,5P$; $d_3=d-2h_3$; $D_1=d-P$ $D_4=d+2a_c$; $s=0,26795es$; $R_{1max}=0,5a_c$; $R_{2max}=a_c$ <i>a_c</i> – temeni zazor, <i>s</i> – bočni zazor, <i>es</i> – odstupanje prema ISO 2903
1,5	0,15	0,08	0,15	
2..4	0,25	0,13	0,25	
5	0,25	0,13	0,50	
6..12	0,5	0,25	0,50	
14..4	1,0	0,50	1,0	

Tablica 4. Dimenzijske izabranih trapeznih navoja

Nazivni prečnik d Stepen prioriteta	Korak P mm	Sr. preč. $d_2=D_2$ mm	Pr.jezgra d_3 mm	Dub.noš. H_I mm	Pres. jez. A_3 mm ²	Ugao nagiba navoja φ u °		
						jednov.	dvojov.	
I	II							
10		2	9,0	7,5	1	44,1	4,04	8,05
12		3	10,5	8,5	1,5	56,7	5,20	10,30
	14	3	12,5	10,5	1,5	86,5	4,36	8,68
16		4	14,0	11,5	2	104	5,20	10,30
	18	4	16,0	13,5	2	143	4,57	9,05
20		4	18,0	15,5	2,5	189	4,05	8,02
	22	5	19,5	16,5	2,5	214	4,68	9,28
24		5	21,5	18,5	2,5	269	4,25	8,40
	26	5	23,5	20,5	2,5	330	3,88	7,70
28		5	25,5	22,5	2,5	398	4,06	8,06
	30	6	27,0	23,0	3	415	4,06	8,06
32		6	29,0	25,0	3	490	3,78	7,50
	34	6	31,0	27,0	3	572	3,52	7,02
36		6	33,0	29,0	3	660	3,31	6,60
	38	7	34,5	30,0	3,5	706	3,69	7,36
40		7	36,5	32,0	3,5	803	3,50	6,98
	42	7	38,5	34,0	3,5	907	3,31	6,60
44		7	40,5	36,0	3,5	1017	3,15	6,29
	46	8	42,0	37,0	4	1074	3,46	6,91
48		8	44,0	39,0	4	1194	3,31	6,60
	50	8	46,0	41,0	4	1319	3,17	6,31
52		8	48,0	43,0	4	1451	3,04	6,05
	55	9	50,5	45,0	4,5	1589	3,25	6,48
60		9	55,5	50,0	4,5	1962	2,96	5,90
	65	10	60	54	5	2289	3,04	6,05
70		10	65	59	5	2732	2,81	5,62
	75	10	70	64	5	3215	2,61	5,22
80		10	75	69	5	3737	2,44	4,88
	85	12	79	72	6	4069	2,74	5,48
90		12	84	77	6	4654	2,57	5,14
	95	12	89	82	6	5278	2,46	4,92
100		12	94	87	6	5941	2,37	4,74
	110	12	104	97	6	7386	2,10	4,20
120		14	113	104	7	8490	2,26	4,52
	130	14	123	114	7	10201	2,98	4,16
140		14	133	124	7	12070	1,92	3,84
	150	16	142	132	8	13677	2,06	4,12
160		16	152	142	8	15828	1,92	3,84
	170	16	162	152	8	18136	1,80	3,60
180		18	171	160	9	20096	1,92	3,84
	190	18	181	170	9	22686	1,83	3,66
200		20	191	180	10	25434	1,72	3,44
	210	20	200	188	10	27745	1,83	3,66
220		20	210	198	10	30775	1,74	3,48
	230	20	220	208	10	33962	1,66	3,32
240		22	229	216	11	36625	1,75	3,50
	250	22	239	226	11	40094	1,67	3,35
260		22	249	236	11	43721	1,61	3,22

Tolerancije navoja

Tolerancije navoja se propisuju da bi se obezbedilo sklapanja spoljnog i unutrašnjeg navoja, omogućila zamenjivost, ostvario dodir oko srednjeg prečnika i obezbedila potrebna dubina nošenja. Izvedene su iz opštih tolerancija dužinskih mera, s tim da je broj dopuštenih položaja tolerancijskih polja i stepena tolerancije jako smanjen. Koriste se tolerancijska polja G i H za unutrašnje navoje i e, f, g i h, za spoljašnje navoje i stepeni tolerancije 3...9. Oznake tolerancija navoja razlikuju se od oznaka opštih tolerancija dužinskih mera. Primeri ovih oznaka za unutrašnji navoj su M16-6H, odnosno M20x2-6H, gde se navedeni stepen tolerancije odnosi na srednji i na mali prečnik. Kod spoljašnjih navoja primenjuju se dve varijante označavanja. Primer za prvu je M16-6f. Navedeni stepen tolerancije 6f odnosi se na veliki i na srednji prečnik. U drugoj varijanti, M16-5g6g, prvi stepen tolerancije 5g odnosi se na srednji prečnik, a drugi 6g na veliki prečnik spoljnog navoja. Oblik tolerancijskog polja je prilagodjen obliku profila navoja. Na slici 7 prikazani su oblici i položaji tolerancijskih polja za metrički navoj kao i odnos tolerancijskih polja za naleganje spoljašnjeg i unutrašnjeg navoja.



Slika 7.
Oblik i položaj tolerancijskih polja metričkog navoja

Naleganja navojnih parova se označavaju, na primer M20x2-6H/6g. Naleganja su po pravilu labava. Odstupanja oblika dovode do smanjenja ili do potpunog gubljenja zazora, naročito kod navojnih parova veće dužine. To je od značaja za precizne navojne parove. U zavisnosti od veličine zazora naleganja mogu biti fina, srednja i gruba. Fina naleganja su sa vrlo malim zazorom, a gruba sa velikim zazorom. Naleganja navojnih delova se još dele i prema dužini tako da naleganja odnosno navojni parovi mogu biti kratki (S), normalni (N) i dugački (L) (tablica 5). Ova podela je ostvarena prema broju koraka po dužini nošenja navojnog spoja. Standardom ISO 965 su propisane tolerancije i naleganja navojnih delova sa metričkim navojem.

Tablica Prioritetna tolerancijska polja metričkog navoja prema ISO 965/1

	Unutrašnji navoj						Spoljašnji navoj											
	Tolerancijska polja						Tolerancijska polja											
	G			H			e			f			g			h		
	S	N	L	S	N	L	S	N	L	S	N	L	S	N	L	S	N	L
Fina				4H	5H	6H										3h4h	4h	5h4h
Srednja	5G	6G	7G	5H	6H	7H	6e	7e6e		6f		5g6g	6g	7g6g	5h6h	6h	7h6h	
Gruba		7G	8G		7H	8H							8g	9g8g				
<i>Približna podela navojnih parova na kratke S, normalne N i dugačke L</i>																		
<i>d mm</i>	4.. 12			12..45			4..90			90...180			180...355					
<i>l_n/P</i>	S	N	L	S	N	L	S	N	L	S	N	L	S	N	L	S	N	L
	<3	3..9	>9	<4	4.. 12	>12	<5	.15	>15	<6	6..18	>18	<7	7..20	>20			

Tolerancije trapeznog navoja definisane su korišćenjem tolerancijskog polja **H** za unutrašnji navoj i tolerancijskih polja **c** i **e** za spoljašnji navoj. Odstupanja srednjih prečnika i prečnika jezgra navoja, definisana su za tri stepena tolerancije i to 7, 8 i 9. Odstupanje malog prečnika unutrašnjeg navoja i velikog prečnika spoljnog navoja, definišu se samo pomoću stepena 4. Površine definisane pomoću ovih prečnika ne obraduju se pomoću alata za izradu navoja. One su prethodno već obradjene ili se mogu naknadno obraditi. To je razlog što u oznaci tolerancija, ova odstupanja nisu uključena. Oznaka naleganja Tr 40x7-7H/7e obuhvata samo odstupanja srednjih prečnika i prečnika jezgra. U tablici 6 navedene su preporučene tolerancije spoljašnjeg i unutrašnjeg navoja koje se mogu koristiti za formiranje normalnih i dugačkih navojnih spojeva srednje i grube klase izrade. Podela na normalne N i dugačke navojne spojeve L, propisana je po ISO 2903.

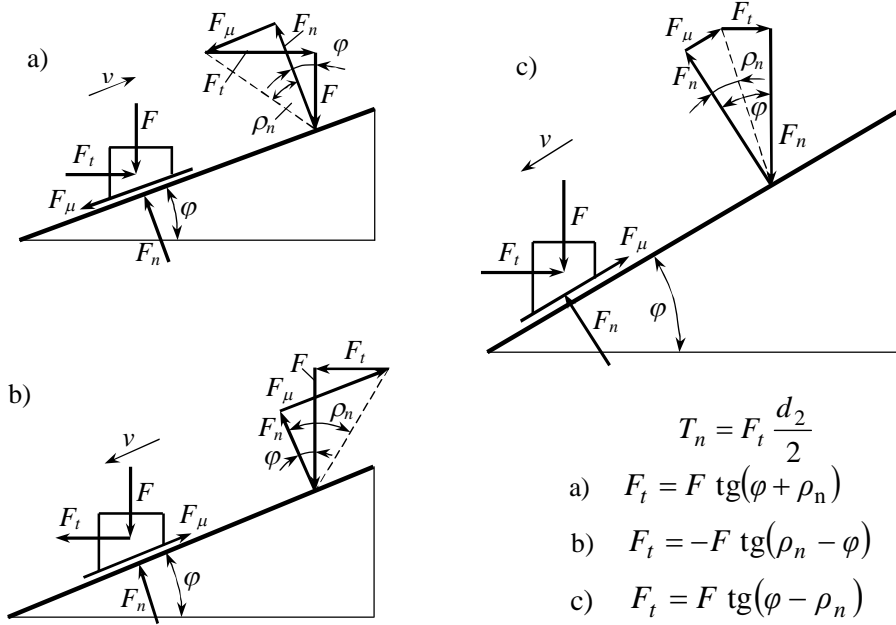
Tablica 6. Preporučene tolerancije trapeznog navoja

	Unutrašnji navoj		Spoljašnji navoj	
	N	L	N	L
Srednja klasa	7H	8H	7e	8e
Gruba klasa	8H	9H	8c	9c

Opterećenje navoja

a) Sila i moment: Navojni par je spoj spoljnog i unutrašnjeg navoja koji je izložen dejstvu uzdužne sile F . Da bi se ostvarilo kretanje pod dejstvom ove sile, na navojni par mora delovati obrtni moment T . Zavisno od funkcije navojnog para, moguće su sledeće varijante:

- Navojni par je izložen uzdužnoj sili u stanju mirovanja (moment je jednak nuli), na primer čvrsti navojni spojevi.
- Navojni par je izložen uzdužnoj sili i ostvaruje se aksijalno kretanje u suprotnom smeru od smera ove sile (pritezanje zavrtnja ili podizanje tereta pomoću dizalice sa navojnim vretenom).
- Navojni par je izložen aksijalnoj sili i ostvaruje se aksijalno kretanje u smeru dejstva sile (odvrtanje zavrtnja ili spuštanju tereta kod dizalice sa navojnim vretenom).
- Navojni par je izložen aksijalnoj sili i ostvaruje se aksijalno kretanje u smeru sile. Ovo stanje odgovara nesamokočivom navoju kod kojeg je potreban obrtni moment suprotan smeru rotacije da održi stanje ravnoteže.



Slika 8

Odnos sila u navojnom paru: a) pri kretanju navrtke suprotno smeru sile,
b) pri kretanju navrtke u smeru sile, c) ravnoteža sila nesamokočivog navoja

$$T_n = F_t \frac{d_2}{2}$$

$$a) \quad F_t = F \operatorname{tg}(\varphi + \rho_n)$$

$$b) \quad F_t = -F \operatorname{tg}(\rho_n - \varphi)$$

$$c) \quad F_t = F \operatorname{tg}(\varphi - \rho_n)$$

Analiza odnosa sila u navojnom paru za navedene slučajeve, koristi se model strme ravni. Navojni par je modifikovan vid strme ravni. Jedan navojak odvijen sa cilindra i ispravljen, stoji pod uglom φ i predstavlja strmu ravan. Deo unutrašnjeg navoja (navrtke) kreće se po spoljnjem navoju i predstavlja telo koje se kreće po strmoj ravni. Na ovo telo deluje spoljna aksijalna sila F . Normalna reakcija strme ravni je sila F_n , a tangentna reakcija je sila trenja F_μ koja je suprotna smeru kretanja tela. U smeru kretanja deluje sila F_t čiji se pravac poklapa sa pravcem tangente na srednji cilindar navoja prečnika d_2 (horizontalni pravac). Na slici 8 prikazani su poligoni sila za kretanje tela uz strmu ravan (a-pritezanje) i za kretanje niz strmu ravan (b-odvrtanje). Aksijalna sila F deluje u pravcu ose navoja, a normalna reakcija F_n upravno na strmu ravan. Druga reakcija strme ravni je sila trenja F_μ koja deluje u pravcu strme ravni suprotno smeru kretanja tela po ovoj ravni. Sile se nanose redosledom kako su navedene (sila F , zatim F_n i F_μ), poligon se zatvara silom F_t kojom se uspostavlja ravnoteža. Izmedju sila F i F_n je ugao strme ravni φ , a ugao naspram sile trenja F_μ je ugao trenja u navoju

$$\rho_n = \text{arc tg } \mu_n = \text{arc tg } \frac{\mu}{\cos(\alpha/2)}$$

Tako je obuhvaćen uticaj ugla profila navoja α na povećanje otpora u navojnom paru. Za ravne površine navoja (bez nagiba α) koeficijent trenja $\mu=0,14\dots,0,16$. Formirani trouglovi sila omogućavaju da se uspostavi veza izmedju sila tj. da se izračuna potrebna sila za kretanje tela po strmoj ravni F_t . Iz trougla koji obrazuje sila F_t sa silom F , za kretanje uz strmu ravan odnosno niz strmu ravan ova sila je

$$F_t = F \text{tg}(\varphi + \rho_n); \quad F_t = F \text{tg}(\rho_n - \varphi)$$

Množenjem tangentne sile F_t , srednjim poluprečnikom $d_2/2$, dobija se moment T_n koji je potreban za savladavanje otpora u navojnom paru tj. za pokretanje navrtke koja je izložena spoljnjem opterećenju F . Smer momenta T_n pri odvrtanju je suprotan u odnosu na pritezanje i ima negativan predznak.

$$T_n = F_t \frac{d_2}{2} = F \frac{d_2}{2} \text{tg}(\varphi + \rho_n); \quad T_n = F_t \frac{d_2}{2} = -F \frac{d_2}{2} \text{tg}(\varphi - \rho_n)$$

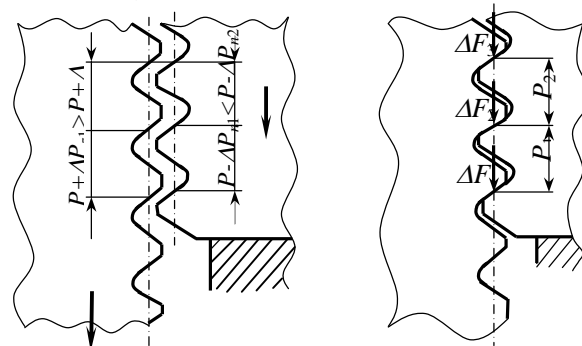
Stanje prikazano na slici 8b odnosi se na samokočiv navoj kod kojeg je potrebno delovati silom da bi se ostvarilo kretanje niz strmu ravan. Povećavanjem ugla strme ravni φ , kada ovaj ugao dostigne dovoljno veliku vrednost, telo može da se spušta niz strmu ravan bez dejstva sile F_t . Za održavanje ravnoteže potrebna je sila F_t suprotna smeru kretanja. Na slici 8c, prikazane su sile i odredjen je moment T_n za sprečavanje slobodnog okretanja navojnih delova. Granica samokočivosti navoja je za $\varphi=\rho_n$. Navoj je samokočiv za $\varphi < \rho_n$, a nije samokočiv za $\varphi > \rho_n$. Veliki ugao φ i nesamokočivost navoja

nastaje kod višestrukih navoja kod kojih je hod navoja $P_h=zP$, gde je z -broj početaka višestrukog navoja.

b) **Raspodela opterećenja na navoje** u navojnom paru je neravnomerna. Sila F koju prenosi navojni par ravnomerno bi se raspodelila na navoje u navojnom paru ako bi koraci bili jednaki, ako bi navrtka i zavrtnj bili iste krutosti i ako bi smerovi deformacija bili isti. Tada bi svako navojak prenosio deo ove sile $\Delta F=F/z$, gde je $z=l_n/P$ -broj navojaka u zahvatu navojnog para, l_n -dužina nošenja, P -korak navoja. Pošto ni jedan od navedenih uslova nije ispunjen, raspodela sile na navoje je neravnomerna. Najveći deo sile prenosi prvi navojak u dodiru sa navrtkom, posmatrano sa strane gde deluje sila, te je

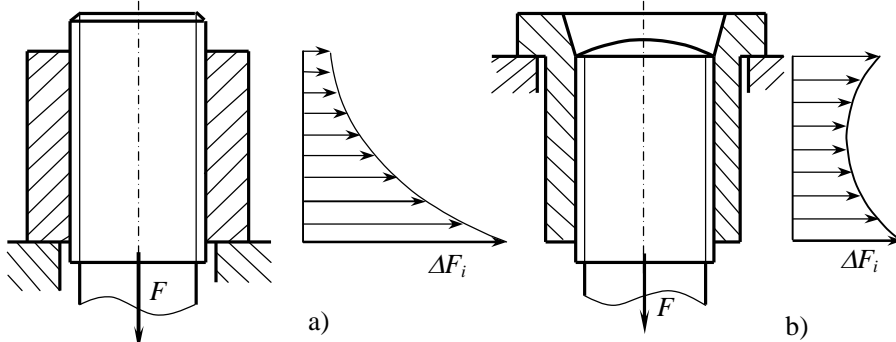
$$\Delta F_1 = \frac{F}{z} \xi_r; \quad F = \sum_{i=1}^z \Delta F_i$$

Faktor neravnomernosti raspodele ξ_r zavisi od više uticaja, a najviše od smera elastičnih deformacija navojnih delova. Ako su ove deformacije suprotnih smerova (na primer kod zavrtnja na zatezanje, a kod navrtke na pritisak), neravnomernost raspodele je velika. Ako su navojni delovi istosmerno napregnuti (na primer oba na zatezanje), raspodela sile je ravnomernija, a faktor neravnomernosti ξ_r je manji. Na slici 9 prikazane su promene koraka kod navojnih delova usled elastičnih deformacija. Navojni deo sa spoljnim navojem (zavrtnj) je zategnut, a korak usled deformacija na zatezanje je uvećan. Povećanje koraka ΔP_i je proporcionalno sili u zavrtnju. Ova se sila predaje preko navojaka na navrtku i postepeno se smanjuje polazeći od prvog navojka $i=1$, prema višim. U tom odnosu se smanjuje i izduženje koraka. Navrtka je oslonjena sa donje strane i izložena je pritisku, a koraci navojaka se usled elastičnih deformacija skraćuju. Korak je najmanji tamo gde je sila najveća, a to je prvi navojak pored oslonca navrtke. Prvi navojak kod zavrtnja je sa najvećim povećanjem koraka, a kod navrtke je sa najvećim smanjenjem koraka. Pošto je razlika u koracima u dodiru prvih navojaka najveća to će ovi navoje apsorbovati najveći deo sile. Ostali navoje prenose ostatak sile proporcionalno navedenim elastičnim deformacijama.



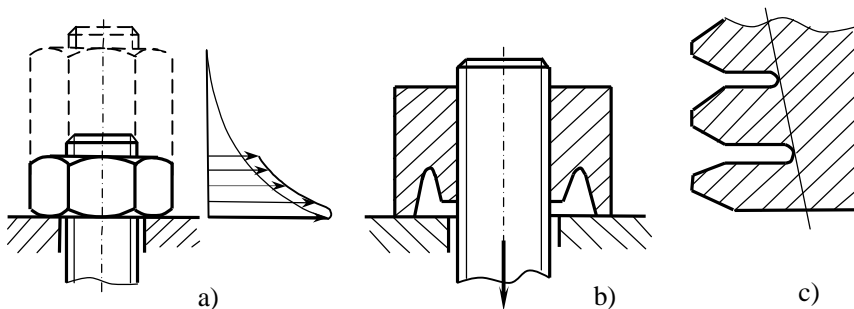
Slika 9. Razlike u koraku navoja usled elastičnih deformacija navojnih delova

Na slici 10a prikazana je raspodela sile u navojnom paru za suprotno napregnute navojne delove (zavrtanj je zategnut, a navrtka je izložena pritisku). Ako je i navrtka zategnuta kao i zavrtanj (istosmerno napregnuti – sl.10b), razlike u koracima su manje, a raspodela opterećenja je povoljnija. Ipak neravnomernost nije potpuno otklonjena jer krutosti na zatezanje zavrtnja i navrtke nisu jednake.



Slika 10.
Raspodela opterećenja na navoje unavojnom paru
a) suprotno napregnuti
b) istosmerno napregnuti zavrtanj i navrtka

Pošto opterećenje prenosi samo manji broj navojaka iza prvog, to visina navrtke ne treba da je velika jer neće biti iskoriscena (sl. 11a). Optimalan broj navojaka u zahvatu je $z=7$, a u primeni je 5...9. Ravnomernost raspodele se još može popraviti ako se poveća elastičnost tela navrtke u zoni prvi navojaka (sl.11b). Isto tako se može povećati i elastičnost samih navojaka (sl.11c). Elastičniji prvi navojci apsorbuju manji deo sile, a ostatak se rasporedjuje na navoje koji su udaljeniji od prvog navojka.



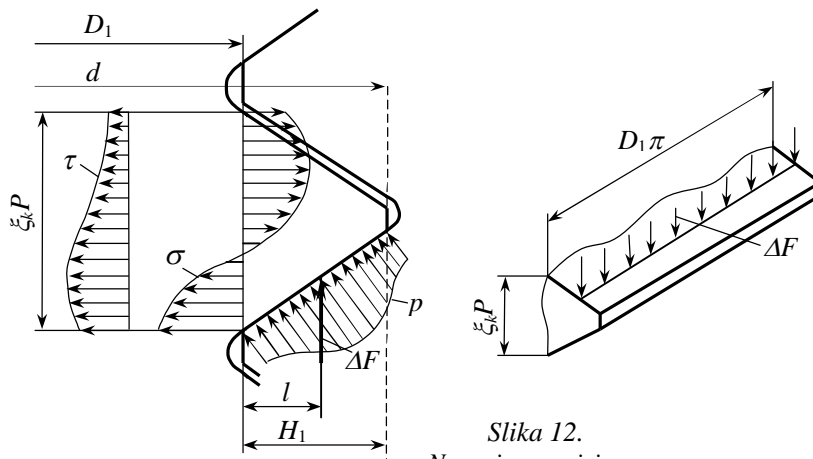
Slika 11.
Konstrukcijska rešenja za poboljšanje raspodele opterećenja na navoje

Naponi u navoju

a) **Naponi u navojcima.** Navojak je izložen dejstvu sile ΔF_i koja je rasporedjena po obimu $d_2\pi$ i po dubini nošenja H_1 . Na prvom navojku ova sila je uvećana faktorom ξ_r u odnosu na prosečnu vrednost. Površinski pritisak na najopterećenijem navojku je

$$p = \frac{F}{zd_2\pi H_1} \xi_r$$

Ako su navojci spoljnog i unutrašnjeg navoja tačnih dimenzija, pritisak se raspodeljuje сразмерно krutosti navojaka po širini dodira. Krutost je najveća oko srednjeg prečnika pa je i pritisak p u toj zoni veći u odnosu na krajeve dodira (sl. 12).



Slika 12.
Naponi u navojcima

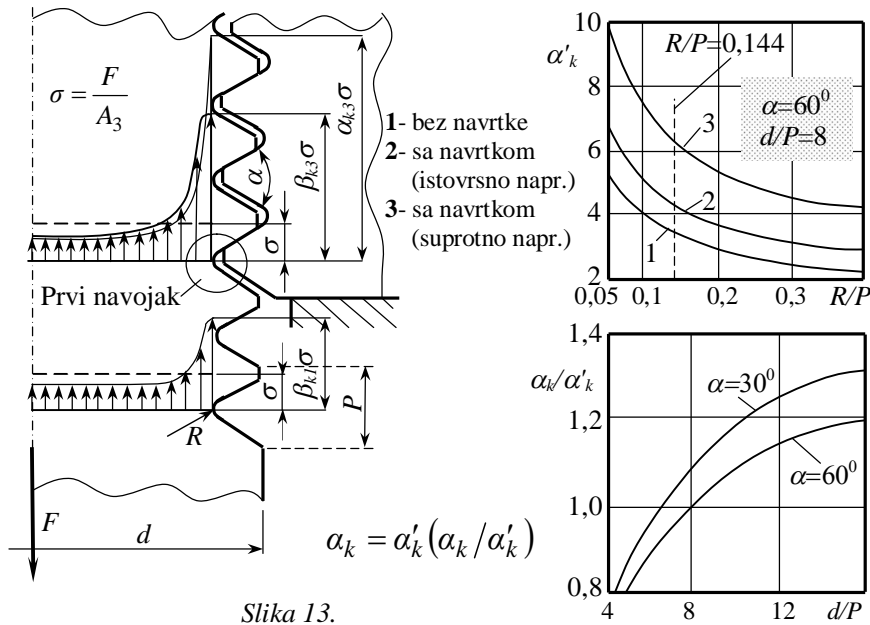
Navojak je još izložen savijanju i smicanju. Navojak je konzola male dužine u odnosu na poprečni presek. Kod spoljnog navoja ona je obavijena oko cilindra prečnika D_1 (sl.12), a naponi u kritičnom preseku najopterećenijeg navojka su

$$\sigma = \frac{M}{W} = \frac{\Delta F_1 l}{W} = \frac{Fl}{zW} \xi_r ; \quad W = \frac{D_1 \pi (\xi_k P)^2}{6} ; \quad l = \frac{d - D_1}{4}$$

$$\tau = \frac{\Delta F_1}{A} = \frac{F}{z(\xi_k P)(D_1 \pi)} \xi_r$$

Smanjenje noseće površine navoje usled prisustva praznih medjuprostora navojaka obuhvaćeno je faktorom ξ_k . Pošto su navojci kratke konzole, stvarni naponi ne odgovaraju izračunatim vrednostima. Na slici 12a prikazana je raspodela napona bliska realnoj.

b) Napon u jezgru navoja. Jezgro spoljašnjeg navoja (zavrtnja), izloženo je dejstvu uzdužne sile F kojoj odgovara nominalni napon $\sigma = F/A_S$, gde je A_S - noseća površina. Ova površina odgovara preseku jezgra navoja, uvećana za uticaj navojaka $A_S = [(d_3 + d_2)/2]^2 \pi/4$. Kod trapeznog navoja, gde je razmak izmedju navojaka veći, ovaj se uticaj može zanemariti i usvojiti da je $A_S = d_3^2 \pi/4$. Usled koncentracije napona, veličina napona u korenu navoja se povećava, a u sredini jezgra, smanjuje (sl.13). Koncentracija napona je posledica uticaja navojaka koji stvaraju diskontinuitet preseka, kao i usled naprezanja navojaka odnosno napona prikazanih na slici 12. Ovi su naponi najveći na prvom navojku koji je u dodiru sa navrtkom. Sabiranjem napona u jezgru i u navojcima, na mestu prvog navojka nastaju ekstremno visoki naponi. Usled toga razaranja po pravilu nastupaju u preseku neposredno ispod navrtke. Na slici 13, osim raspodele napona u jezgru navoja, dati su i dijagrami koji pokazuju karakter promene koncentracije napona. Geometrijski faktor koncentracije napona α_k zavisi od odnosa radijusa u korenu navoja R i koraka k kao i od veličine prečnika. Krupan korak i mali radius uvećavaju veličinu faktora α_k . Osim toga ona zavisi i od toga da li je naprezanje zavrtnja i navrtke istosmerno ili suprotno (jedan deo zategnut, a drugi pritisnut). Na veličinu efektivnog faktora koncentracije napona β_k , utiče još i materijal navojnog dela.

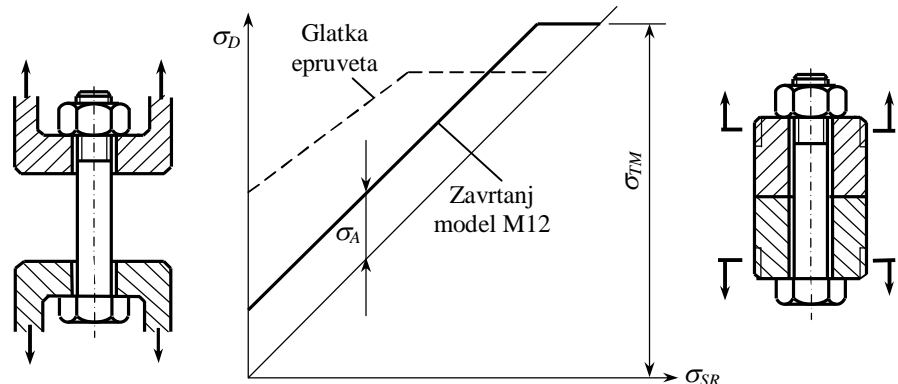


Slika 13.
Koncentracija napona u jezgru navoja

Materijal i izdržljivost navojnih delova

Navojni delovi su izloženi visokim naponima sa izrazitom koncentracijom napona. Izradjuju se od konstrukcionih čelika, ugljeničnih i legiranih čelika za poboljšanje. Za posebne namene odnosno za posebne uslove rada koriste se i posebni materijali. To su nerdjajući čelici za prehrambenu industriju, vatrootporni čelici za visoke temperature, obojeni metali i legure kao što je mesing za hemijski agresivne sredine ili bronza kada su potrebna dobra klizna svojstva. Za luke konstrukcije koriste se legure aluminijuma, magnezijuma ili titana (za visoke temperature). Navojni delovi se izradjuju i od plastičnih masa i drugih materijala kada se za to ukaže potreba. Sve su ovo izuzeci u odnosu na konstrukcione čelike i čelike za poboljšanje.

Standardi propisuju obavezu proizvodjačima da na zavrtanju unesu oznaku jačine materijala – klasu čvrstoće. Ona se sastoji od dva broja razdvojena tačkom, na primer 5.6 ili 12.9. Prvi broj označava zateznu čvrstoću, a proizvod prvog i drugog broja napon tečenja materijala. Radi dobijanja odgovarajućih jedinica za napone, ove brojke se množe sa 10 ili sa 100. Na primer klasa čvrstoće 5.6 predstavlja zateznu čvrstoću od 500 N/mm^2 i napon tečenja $\sigma_{TM}=5 \times 6 \times 10 = 300 \text{ N/mm}^2$. Standard ne propisuje materijala zavrtanja već samo najmanju čvrstoću koja se dobija ispitivanjem zavrtanja sa navrtkom. Klasa čvrstoće navrtke se označava jednim brojem koji se odnosi na zateznu čvrstoću. Čvrstoća materijala navrtke je za jednu klasu niža od čvrstoće zavrtanja. Razlog za to su niži naponi u navoju navrtke jer je kritični presek ovog navoja na većem prečniku.



Slika 14.
Ispitivanje dinamičke izdržljivosti i Smitov dijagram navojnih delova ISO 3800

Zavrtanj sa navrtkom izložen sili zatezanja razara se (kida se) po preseku jezgra. Odnos dimenzija jezgra i dimenzija navoja je takav da je navoj veće otpornosti na razaranje u poređenju sa jezgrom navoja. Visoka koncentracija napona dovodi do lokalnih plastičnih deformacija u korenu navoja koje doprinose plastičnom ojačanju. Ako je navoj izradjen valjanjem u hladnom stanju ili je nakon izrade navoj gnječen u korenu takodje u hladnom stanju, ovi efekti su još veći. Efekat plastičnog ojačanja može se uzeti u obzir koeficijentom ξ_T , a uticaj veličine poprečnog preseka koeficijentom ξ_l . Ako se napon tečenja zavrtnja σ_{TM} određuje na osnovu napona tečenja glatke epruvete R_e , onda je

$$\sigma_{TM} = R_e \xi_T \xi_l$$

Uticaj koncentracije napona na statičku čvrstoću ($\xi_T > 1$) je značajan (sl.14). Usled lokalnih plastičnih deformacija u korenu navoja, statička čvrstoća zavrtnja sa navrtkom je znatno veća od statičke švrstoće glatke epruvete. Pri ispitivanju zatezanjem zavrtnja sa navrtkom ovaj uticaj je već obuhvaćen te korekcija nije potrebna.

Dinamička izdržljivost zavrtnja se može odrediti na osnovu dinamičke izdržljivosti standardne epruvete, uzimajući u obzir uticaj koncentracije napona, stanje površine i dr. S obzirom da je uticaj koncentracije napona veliki to je i razlika u izdržljivosti glatke epruvete i zavrtnja, velika. Veliki je i broj uticaja na izdržljivost zavrtnja sa navrtkom. U takvim slučajevima polazna izdržljivost se utvrđuje ispitivanjem modela istog oblika. Kod navojnih delova za model je izabran zavrtanj M12 koji je izložen zatezanju, a navrtka je pritisnuta. Usled visoke koncentracije napona amplituda izdržljivosti je mala i približno ista za sve srednje napone u Smitovom dijagramu (sl.14). Amplitude dinamičke izdržljivosti σ_A zavrtnja modela, za različite materijale i različite načine izrade, dobijene ispitivanjem, daju se u odgovarajućim tablicama (tab.7). Amplituda dinamičke izdržljivosti bilo kojeg drugog zavrtnja dobija se korekcijom eksperimentalne amplitude σ_A , uzimajući u obzir razlike u uslovima kod ispitivanog modela i navojnog dela čija se izdržljivost određuje

$$\sigma_{AM} = \sigma_A \xi_\beta \xi_1 \xi_2 \xi_3$$

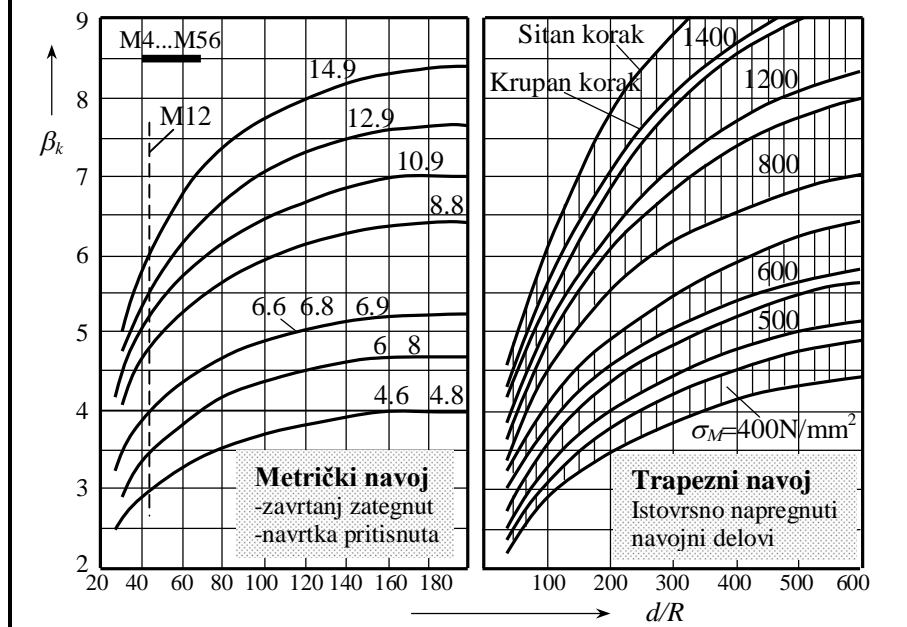
Razlika u koncentraciji napona obuhvata koeficijent $\xi_\beta = \beta_{k0}/\beta_k$, gde je β_{k0} - efektivni faktor koncentracije napona zavrtnja modela M12, a β_k - efektivni faktor koncentracije napona navojnog dela za koji se određuje izdržljivost. Koeficijentima ξ_1 , ξ_2 i ξ_3 uzima se u obzir razlika u veličini preseka, načina izrade i ojačanja ili zaštite. Veličina svih ovih uticaja nije velika tako da se za približnije proračune ili za zavrtnje slične zavrtnju modelu može usvojiti $\sigma_{AM} = \sigma_A$. U tablici 7 date su potrebne veličine za izračunavanje amplitude dinamičke izdržljivosti navojnih delova.

Tablica 7. Materijal, čvrstoća i izdržljivost navojnih delova

Klasa čvrstoće zavrtnja	Opitni zavrtanj sa navrtkom M12				β_{k0}	Faktor uticaja hrapavosti ξ_2		
	Rezan navoj		Valjan navoj			Srednja obrada	Gruba obrada	
	σ_A N/mm ²	ξ_T	σ_A N/mm ²	ξ_T				
4.6	45	1,1	55	1,2	3	0,95	0,85	
4.8	40...50		50...60					
6	45	1,1	70					
8	40...50		6..75					
6.6								
6.8	50	1,1	80					
6.9	4..55		7..85					
8.8	50...60	1,1	90..105	1,4	4,8	0,90	0,80	
10.9	55...65	1,05	11..125	-	5,2	0,85	0,75	
12.9	65...75	1,05	14..155	-	5,5	0,80	0,70	
14.9	70...80	1	16..175	-	6	0,80	0,70	
Prečnik navoja d mm	6	8	12	30	60	100	>150	
ξ_1	Zatezanje	1,3	1,1	1	0,92	0,85	0,77	
	Uvijanje	1,3	1,1	1	0,9	0,8	0,7	
							0,6	

$\xi_3 = 1,1 \dots 1,2$ – za navojne delove gnečene valjcima u hladnom stanju posle izrade navoja

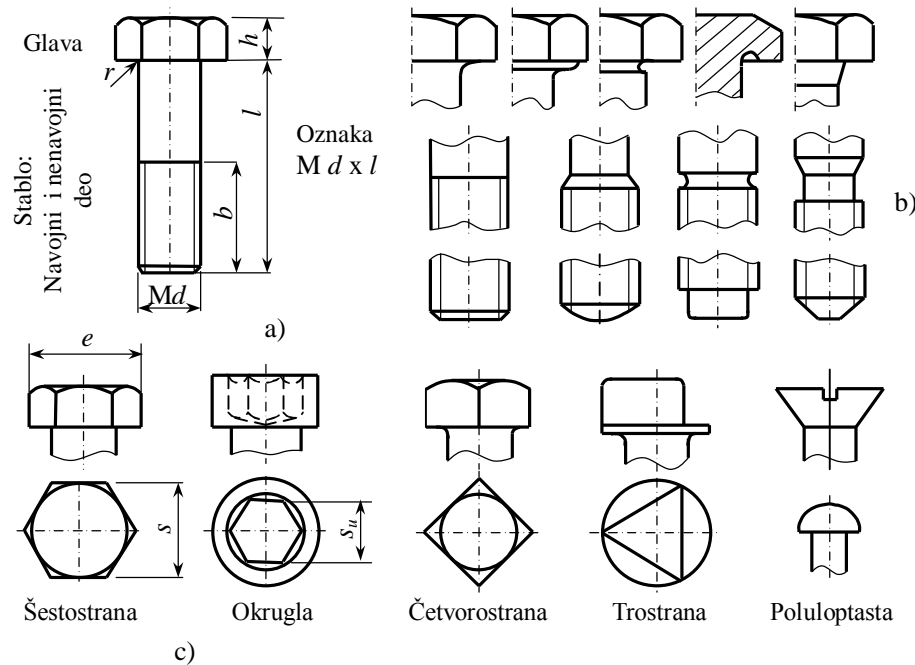
$\xi_4 = 1,1$ – za galvanski zaštićene navojne delove



Zavrtanske veze

Zavrtanska veza je navojni spoj ostvaren posredstvom zavrtnja i navrtke. Izuzetno, navrtka može da izostane ako se unutrašnji navoj izradi u jednom od delova koji se spajaju. Zavrtansku vezu, čine spojeni delovi, zavrtanj, navrtka i delovi za osiguranje ili zaptivljanje.

Oblici zavrtnja i navrtke, uključujući dimenzije, tolerancije, materijal i dr. su standardizovani. Za svaki oblik zavrtnja, navrtke ili osigurača predviđen je odgovarajući poseban standard koji osim oblika propisuje dimenzije, klasu čvrstoće i klasu kvaliteta (A-finu, B-srednju ili C-grubu). U okviru ovih klasa propisane su tolerancije navoja, klasa hraptavosti površina, tolerancije oblika i dr. Izradjuju se u visokim serijama, plastičnim deformisanjem, najčešće u hladnom stanju. To se naročito odnosi na izradu navoja. Navoj skoro svih standardnih i drugih zavrtnjeva izradjuje se, po pravilu, valjanjem u hladnom stanju. To doprinosi većoj produktivnosti proizvodnje i značajnom povećanju čvrstoće i izdržljivosti zavrtnja.

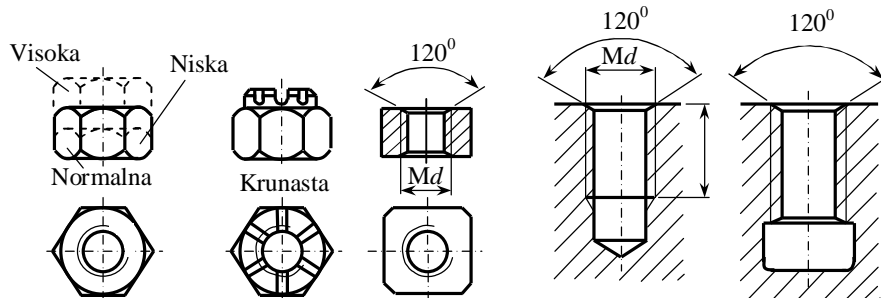


Slika 15.

Karakteristični detalji blica zavrtnja: a) oblik zavrtnja, b) prelaz glave u stablo, prelaz navojnog na nenavojni deo i završetak zavrtnja, c) oblici glave zavrtnja

Zavrtanj čine stablo i glava zavrtnja. Stablo se sastoji iz navojnog i nenavojnog dela. Prelazi izmedju navojnog i nenavojnog dela i izmedju stabla i glave su mesta sa povećanom koncentracijom napona. Radijus na prelazu izmedju stabla i glave omogućuje da se koncentracija napona smanji. Prelaz izmedju navojnog i nenavojnog dela može biti različitog oblika zavisno od načina izrade i od drugih okolnosti (sl. 15). Ovaj prelaz može takodje da bude značajan izvor koncentracije napona. U pogledu odnosa dužine navoja i stabla, zavrtnji mogu biti sa navojem po celoj dužini stabla ($b=l$) i sa navojem na delu stabla ($b < l$). Osim toga mogu se podeliti i prema obliku glave. Najčešće su sa šestougaonom glavom. Za ovaj oblik glave karakteristična je mera s koja predstavlja otvor ključa za okretanje pri ugradnji, kao i visina glave h . Zavrtnji sa okruglom glavom i šestougaonom rupom za ključ pogodni su za ugradnju u one sklopove gde glava treba da bude spuštena ispod nivoa površine spojenih delova. Glava još može biti četvorougaona, trouglasta, konusna, poluloptasta i sl. Ovi oblici takodje su prikazani na slici 1 U tablici 8 date su osnovne dimenzije.

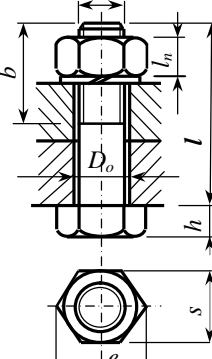
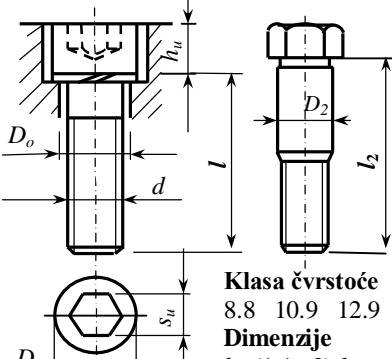
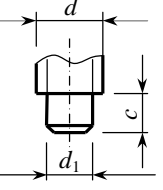
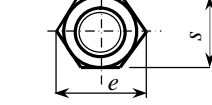
Navrtke su po pravilu šestostrane (šestougaone). Izuzetno mogu biti četvorougaone, krilaste ili posebnog (specijalnog) oblika. Šestougaona (šestostrana) navrtka može biti normalna, niska i visoka. Osim toga osnovni šestougaoni oblik može biti snabdeven raznim dodacima za osiguranje od samoodvrtanja ili za povećanje veličine dodirne površine sa delovima koje spaja. Tako se šestougaona navrtka u standardima javlja u raznim varijantama, međutim u najširoj primeni je osnovni šestougaoni oblik. Navrtke mogu biti snabdevene metričkim navojem krupnog ili sitnog koraka. Navojni delovi krupnog koraka se definišu zasebnim standardima u odnosu na navrtke sa navojem sitnog koraka. Izuzetno navrtke mogu biti i sa navojem levog smera (levi navoj) i one moraju biti označene žlebom na sredini šestostranog oblika. Sve to u vezi sa vrstom navoja odnosi se i na zavrtnje. Umesto da se koristi navrtka, unutrašnji navoj može biti izradjen neposredno i u jednom od delova koji se spajaju. Neki od oblika navrtki i navojnih rupa u mašinskim delovima prikazani su na slici 16.



Slika 16.
Najčešći oblici navrtki i navoja u delovima koji se spajaju

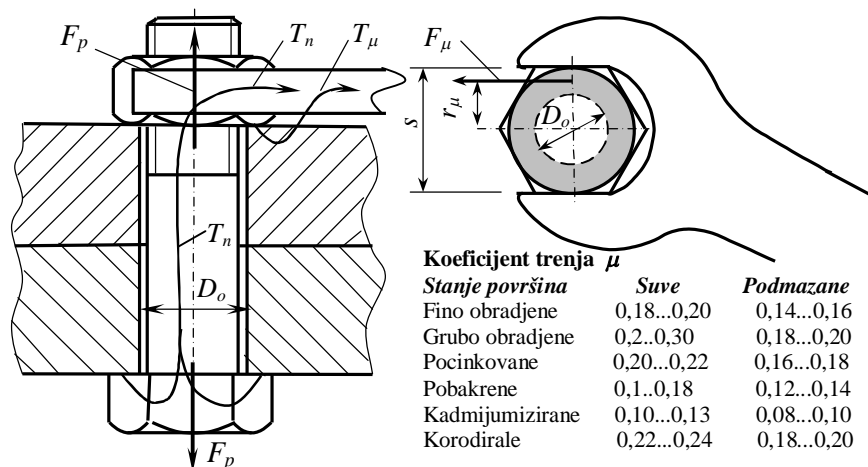
Tablica 8. Dimenziije izabranih zavrtnjeva i navrtki u mm

d mm	Sa šestostranom glavom				Sa okruglom glavom			Prečn. otvora D _o	P F SG	Za tačno naleganje D ₂	Za utvrđivanje položaja				
	h	l _n	s	e	D	h _u	s _u				d ₁	c	c ₁	s _c	
6	4	5	10	11,5	10	6	5	6,4	6,6	7	7,2	4,5	3,5	1,8	9
8	5,5	6,5	13	15	13	8	6	8,4	9	10	9,2	6	5	2,5	11
10	7	8	17	19,6	16	10	8	10,5	11	12	11,2	7	5,5	3	14
12	8	10	19	21,9	18	12	10	13	14	15	13,2	9	7	3,5	17
14	9	11	22	25,4	21	14	12	15	16	17	15,2				
16	10	13	24	27,5	24	16	14	17	18	19	17,2	12	9	4,5	19
18	12	15	27	31,2	27	18	14	19	20	21	19,2				
20	13	16	30	34,6	30	20	17	21	22	24	21,3	15	9	5	22
22	14	18	32	36,9	33	22	17	23	24	26	23,3				
24	15	19	36	41,6	36	24	19	25	26	28	25,3	18	11	6	27
27	17	22	41	47,3				28	30	32					
30	19	24	46	53,1	45	30	22	31	33	35		23	14	8	36
33	21	26	50	57,7				34	36	38					
36	23	29	55	63,5	56	36	27	37	39	42		28	14	10	46
39	25	31	60	69,3				40	42	45					
42	26	34	65	75	63	42	32	43	45	48		P – Posebno fina klasa			
45	28	36	70	80,8				46	48	52		F – Fina klasa			
48	30	38	75	86,5	72			50	52	56		S – Srednja, G – Gruba klasa			

 Klasa čestoće: 6 8.8 10.9	 Klasa čvrstoće: 8.8 10.9 12.9	 Fina klasa	Dimenzije <i>b=(1,1...2)d</i> <i>l₂=20 22 25 28</i> <i>ISO 4762 30 32 35 38 40</i>	 Klasa čestoće: ISO 4014 – klasa A i B Za b < l : ISO 4016 – klasa C	
				Navrtke: Klasa čvrstoće: 4 5 6 8 10 ISO 4032, 4033, 4034	
Dužine l: 6 8 10 12 15 18 20 22 25 30 35 40 45 50 55 60 65 70 75 80 85 90 95 100 110 120 130 140 150 160 170 180 190 200				Dužine: 12 15 18 20 25 30 35 40 45 50 60 70 80 90 100 120 140 160 180 200	

Pritezanje zavrtanskih veza

U zavrtanskoj vezi treba obezbediti uslove da ne dodje do razdvajanja niti do medjusobnog relativnog kretanja spojenih delova. To se postiže obezbeđivanjem dovoljne sile pritiska između spojenih delova koja se ostvaruje pritezanjem zavrtinja. Veličina sile kojom se priteže zavrtanj može biti određena po osnovu više kriterijuma. Ako se želi optimalno iskorišćenje nosivosti zavrtinja onda napon usled dejstva sile pritezanja F_p treba da je reda veličine $\sigma_p = F_p / A_S = (0,6...0,8)\sigma_{TM}$, a izuzetno može biti i 0,9. Ako se posredstvom uzdužno opterećene zavrtanske veze obezbeđuje zaptivanje suda pod pritiskom onda se sila pritezanja određuje na osnovu pritiska u sudu i na osnovu karakteristika zaptivača tj. $F_p = \gamma F_r$, gde je F_r – radna sila koja zavisi od pritiska u sudu, dimenzija suda i broja zavrtnjeva. Koeficijent γ - zavisi od karakteristika zaptivača i od promenljivosti radne sile i može biti u granicama 1,5...4. Slično je i kod običnih uzdužno opterećenih veza kod kojih takodje nije dopustivo da dodje do razdvajanja spojenih delova. Kod poprečno opterećenih zavrtanskih veza silom pritezanja se obezbeđuje dovoljno velika sila trenja da spojeni delovi ne proklizaju pod dejstvom spoljnog opterećenja ($F_p = \xi_p F_b$). Sila pritezanja zavrtinja se ostvaruje dejstvom momenta pritezanja T_p kojim se posredstvom ključa (ili mehanizmom za pritezanje) savladavaju otpori okretanju navrtke. Jedan od njih je moment otpora u navojnom paru T_n koji odgovara kretanju tela (navrtke) uz strmu ravan (navoj). Drugi je moment otpora klizanju navrtke po podlozi (slika 17) $T_\mu = F_p \mu r_\mu$, gde je μ - koeficijent trenja na ovom dodiru, r_μ - srednji poluprečnik sile trenja na kliznoj površini.

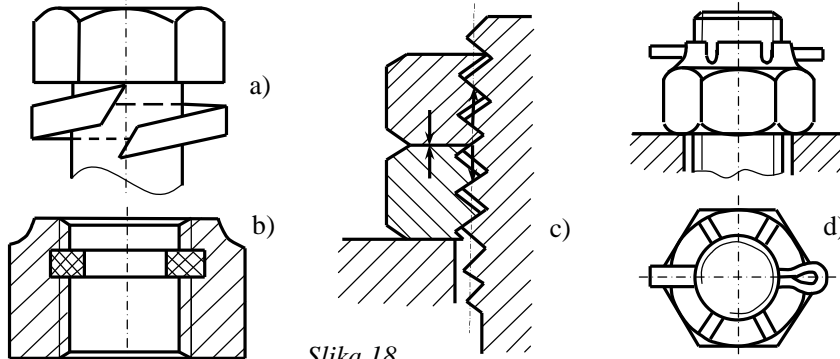


Slika 17
Pritezanje zavrtanske veze

Zbir momenta otpora u navojnom paru T_n i momenta otpora klizanja navrtke po podlozi T_μ predstavlja potreban moment pritezanja da bi se ostvarila sila F_p

$$T_p = T_n + T_\mu = F_p \left[\frac{d_2}{2} \operatorname{tg}(\phi + \rho_n) + r_\mu \mu \right]; \quad r_\mu = \frac{s + D_o}{4}$$

Sila ostvarena pritezanjem F_p tokom eksploatacije zavrtanske veze se smanjuje (gubi se), tj. nastupa labavljenje ili samoodvrtanje. Elastične deformacije ostvarene pritezanjem, tokom vremena se smanjuju prelazeći u plastične ili se gube mikrohabanjem dodirnih površina. Osim toga usled promenljivih sila i vibracija navrtka ostvaruje mikrokretanja – samoodvrtanje. Da bi se ovi procesi predupredili ili ublažili, zavrtanska veza se priteže više nego što je potrebno za prenošenje opterećenja i osigurava se od labavljenja i samoodvrtanja. Na slici 18 prikazani su karakteristični predstavnici ovih osiguranja. Elastične podloške (a) nadomeštaju izgubljene elastične deformacije. Nemetalni prsten u navrtci (b) i dvostruka navrtka (c) obezbeđuju povećanje otpora trenja u navojnom paru i sprečava samoodvrtanje. Posebnim osiguračima kao što je rascepka (d) takođe se sprečava samoodvrtanje.



Osiguranja od labavljenja i samoodvrtanja: a) elastične podloške, b) samoosiguravajuća navrtka, c) dvostruka navrtka, d) krunasta navrtka sa rascepkom

Stepen sigurnosti zavrtanja na kraju pritezanja se proverava radi provere da u zavrtnju nisu nastupile plastične deformacije. Sila F_p postoji samo ako je zavrtanj ostalo u oblasti elastičnosti. Pri pritezanju izložen je zatezanju silom F_p i uvijanju momentom T_n . Drugi deo momenta pritezanja T_μ prenosi se direktno na ključ i ne deluje na stablo zavrtanja. Stepen sigurnosti je

$$S_T = \frac{S_\sigma S_\tau}{\sqrt{S_\sigma^2 + S_\tau^2}}; \quad S_\sigma = \frac{\sigma_{TM}}{\sigma}; \quad S_\tau = \frac{\tau_{TM}}{\tau}$$

$$\sigma = \frac{F_p}{A_{\min}} = \frac{F_p}{A_S}; \quad \tau = \frac{T_n}{W_{p\min}} = \frac{T_n}{0,2d_3^3}.$$

Uzdužno opterećene zavrtanske veze

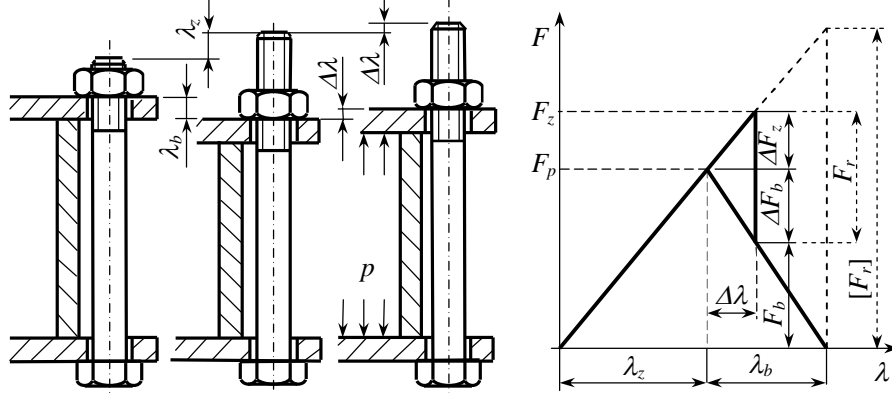
Radno opterećenje izraženo radnom silom F_r deluje u pravcu ose zavrtnja. Ova sila teži da razdvoji spojene delove, a to sprečava sila pritezanja. Pritezanjem se zavrtanj isteže za veličinu $\lambda_z = F_p/c_z$, a spojeni delovi skraćuju (sabijaju) za $\lambda_b = F_p/c_b$, gde su c_z i c_b krutost zavrtnja i krutost spojenih delova (sl.19). Dejstvo radne sile F_r (na primer usled pritiska p fluida u sudu) dovodi do daljeg povećavanja deformacije zavrtnja i do oslobadjanja deformacija spojenih delova za veličinu $\Delta\lambda$. Radna sila F_r se deli proporcionalno krutostima na dva dela ΔF_z i ΔF_b od kojih jedan dovodi do povećanja sile u zavrtnju F_z , a druga do smanjenja sile na dodiru spojenih delova F_b u odnosu na silu pritezanja F_p tj.

$$F_z = F_p + \Delta F_z = F_p + \frac{c_z}{c_z + c_b} F_r; \quad F_b = F_p - \Delta F_b = F_p - \frac{c_b}{c_z + c_b} F_r$$

Povećavanjem radne sile F_r povećava se sila u zavrtnju i smanjuje se sila na dodiru spojenih delova. Kad ova sila F_b postane jednaka nuli dolazi do razdvajanja spojenih delova, a vrednost ove radne sile je kritična sila $[F_r]$.

$$F_b = F_p - \frac{c_b}{c_z + c_b} F_r = 0; \quad [F_r] = F_p \frac{c_z + c_b}{c_b} = F_p \left(1 + \frac{c_z}{c_b}\right)$$

Stepen sigurnosti protiv razdvajanja veze je $S_r = [F_r]/F_r$. Ako se spojeni delovi razdvoje, pri daljem porastu sile F_r povećava se zazor izmedju spojenih delova, a sila u zavrtnju se povećava proporcionalno porastu sile F_r tj. $F_z = F_r$. Razdvajanje veze može biti sprečeno povećanjem sile pritezanja ili povećanjem krutosti zavrtnja u odnosu na krutost spojenih delova.



Slika 19.
Sile i deformacije u uzdužno opterećenoj zavrtanskoj vezi

Zavrtanj uzdužno opterećene zavrtanske veze može biti plastično deformisan pri pritezanju dejstvom sile pritezanja F_p i momenta T_n . Proverom stepena

sigurnosti protiv plastičnih deformacija na kraju procesa pritezanja (odeljak 2.1) ocenjuje se mogućnost pojave ovog kritičnog stanja. U nastavku se proverava stepen sigurnosti zavrtnja u radu. Ako je radna sila stalne veličine (približno konstantna), stepen sigurnosti protiv plastičnih deformacija u radu je

$$S = \frac{\sigma_{TM}}{\sigma} ; \quad \sigma = \frac{F_z}{A_{\min}} = \frac{F_z}{A_S} .$$

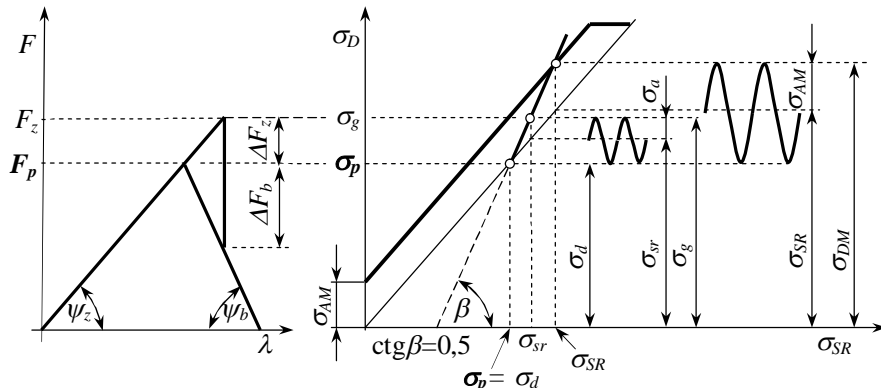
Pri dinamičkoj promeni radne sile F_r , sila u zavrtnju se menja od sile ostvarene pritezanjem F_p do najveće vrednosti sile F_z . Pri tom se napon menja od σ_d do σ_g

$$\sigma_d = \frac{F_p}{[A]} = \frac{F_p}{A_3} ; \quad \sigma_g = \frac{F_z}{[A]} = \frac{F_z}{A_3} ; \quad \sigma_{sr} = \frac{\sigma_g + \sigma_d}{2} ; \quad \sigma_a = \frac{\sigma_g - \sigma_d}{2}$$

Sila pritezanja zavrtnja je stalne veličine te je i donja vrednost napona stalna tj. $\sigma_d = \text{const.}$ Za proveru dinamičkog stepena sigurnosti merodavan je kritični presek $[A]$. To je najmanji presek sa najvećom koncentracijom napona. To je presek na mestu dodira zavrtnja sa prvim navojkom navrtke. Veličina ovog poprečnog preseka odgovara nosećem preseku A_3 . Izuzetno lomovi mogu nastati na mestu prelaza stabla i glave zavrtnja ili na stablu gde se završava navojni deo. Na slici 20 prikazan je odnos radnog i kritičnog napona dinamički napregnutog zavrtnja čiji je stepen sigurnosti u radu

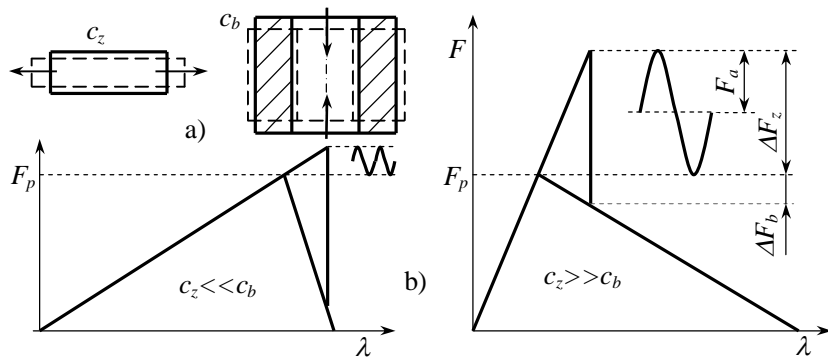
$$S_A = \frac{\sigma_{AM}}{\sigma_a} ; \quad \sigma_{AM} = \sigma_A \xi \beta \xi_1 \xi_2 \xi_3 ; \quad \sigma_a = \frac{\Delta F_z}{2A_3}$$

Stepen sigurnosti zavrtnja u radu treba da je veći od 1,25...2,5 zavisno od pouzdanosti podataka na osnovu kojih je određen kritični i radni napon.



Slika 20.
Odnos radnog i kritičnog napona dinamički napregnutog zavrtnja

Krutost zavrtnja i spojenih delova predstavlja silu koja je potrebna da ostvari jediničnu deformaciju istezanja zavrtnja odnosno sabijanja spojenih delova. Ova krutost je proporcionalna veličini poprečnog preseka A i modulu elastičnosti E , a obrnuto je proporcionalna dužini l , tj. krutost $c=AE/l$. Pošto je veličina poprečnog preseka A odredjena na osnovu drugih uslova, krutost se može menjati promenom dužine l . Zavrtnji veće dužine su elastičniji (manje su krutosti) i obrnuto. Na slici 21 prikazan je karakter deformacija pri zatezanju zavrtnja i sabijanju spojenih delova. Na ovoj slici je prikazan i uticaj promene odnosa krutosti zavrtnja i spojenih delova na odnose sila u zavrtanskoj vezi. Ako je zavrtanj male krutosti (elastičan) u odnosu na spojene delove $c_z \ll c_b$ onda je mali deo sile F_r koju prenosi zavrtanj i mala je sila na dodiru spojenih delova F_b . Ovo stanje je pogodno u slučaju kada je potrebno zaštитiti zavrtanj od dinamičkih sila koje dovode do zamora. U obrnutom slučaju (sl.21b), kada je $c_z \gg c_b$, zavrtanj prenosi mnogo veći deo radne sile, a sila na dodiru spojenih delova F_b je takodje velika. Ovo stanje je pogodno kada je potrebna velika sila F_b za zaptivljivanje, posebno kada radna sila nije promenljiva.

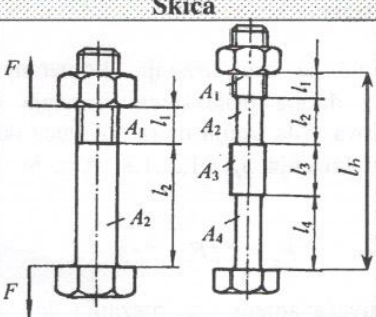
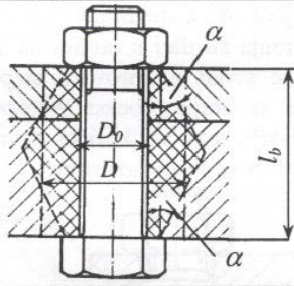
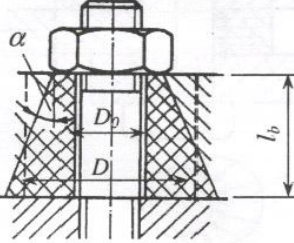
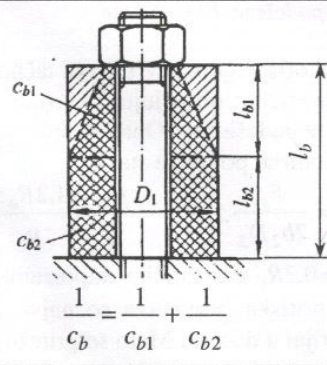
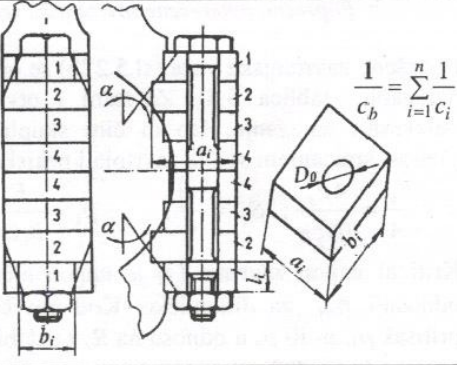


Slika 21

Uticaj odnosa krutosti zavrtnja i spojenih delova na raspodelu sila u zavrtanskoj vezi

Određivanje krutosti zavrtnja i spojenih delova se zasniva na korišćenju osnovnog obrasca za aksijalnu krutost $c=AE/l$, kojim treba obuhvatiti zapreminu materijala koja je izložena elastičnim deformacijama. Kod zavrtnja to je deo stabla između glave i navrtke. Kod manjih dužina treba uključiti i uticaj elastičnih deformacija u navrtei i glave zavrtnja. Pošto je presek zavrtnja promenljiv, krutost se određuje za svaki presek posebno, a ukupna se dobija sabiranjem recipročnih vrednosti (tablica 9). Kod spojenih delova područje zahvaćeno deformacijama se širi u vidu konusa sa uglom α ($\operatorname{tg}\alpha=0,4..0,5$). Ako je debljina spojenih delova mala, ovaj konus se može aproksimirati cilindrom. Kod većih debljina treba koristiti modele za određivanje ove krutosti date u tablici 9. Ako je stanje deformacija složeno, područje zahvaćeno deformacijama se deli na sekcije i izračunava se ekvivalentna krutost.

Tablica 9. Modeli za određivanje krutosti zavrtnja i spojenih delova

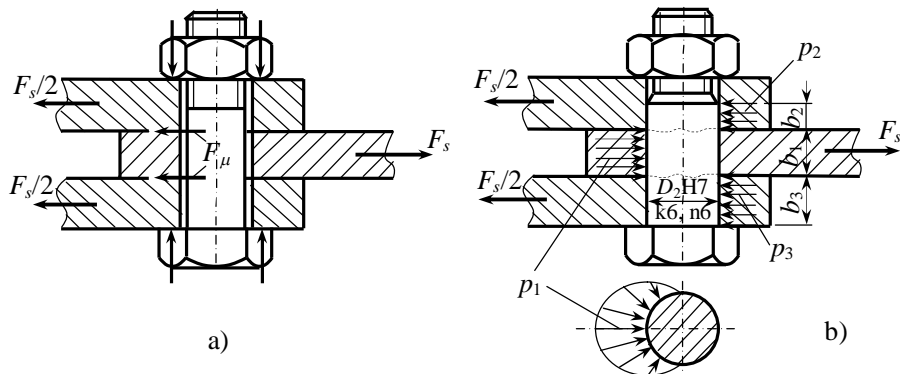
Skica	Obrazci
 	$\frac{1}{c_z} = \frac{1}{c_s} + \frac{1}{c_g} + \frac{1}{c_n}; \quad \frac{1}{c_s} = \frac{1}{E_z} \sum_{i=1}^n \frac{l_i}{A_i}$ <p>ako je $l_b > 6d$ $1/c_g$ i $1/c_n$ izostaviti za $d/P = 6 \dots 10$ za $d/P = 10 \dots 20$</p> $\frac{1}{c_n} = (0,95 \dots 0,8) \frac{1}{Ed} \quad \frac{1}{c_n} = (0,8 \dots 0,7) \frac{1}{Ed}$ $\frac{1}{c_g} = \frac{0,15}{E_z h}; \quad E = \frac{2E_z E_n}{E_z + E_n}$ <p><i>z</i>- zavrtanj, <i>n</i>-navrtka, <i>g</i>-glava zavrtinja</p>
	<p>za $l_b < D_0$: $c_b = \frac{E_b A}{l_b}; \quad A = \frac{\pi}{4} (D^2 - D_0^2)$</p> <p>$D = s + (l_b/2) \operatorname{tg} \alpha; \quad \operatorname{tg} \alpha \approx 0,4; \quad s$-otvor ključa</p> <p>za $l_b > D_0$: $c_b = \frac{E_b \pi D_0 \operatorname{tg} \alpha}{4,6 \log \frac{(s+D_0)(s+l_b \operatorname{tg} \alpha - D_0)}{(s-D_0)(s+l_b \operatorname{tg} \alpha + D_0)}}$</p>
	<p>za $l_b < D_0$: $c_b = \frac{E_b A}{l_b}; \quad A = \frac{\pi}{4} (D^2 - D_0^2)$</p> <p>$D = s + l_b \operatorname{tg} \alpha; \quad \operatorname{tg} \alpha \approx 0,4; \quad s$-otvor ključa</p> <p>za $l_b > D_0$: $c_b = \frac{E_b \pi D_0 \operatorname{tg} \alpha}{2,3 \log \frac{(s+D_0)(s+2l_b \operatorname{tg} \alpha - D_0)}{(s-D_0)(s+2l_b \operatorname{tg} \alpha + D_0)}}$</p>
 $\frac{1}{c_b} = \frac{1}{c_{b1}} + \frac{1}{c_{b2}}$	 $\frac{1}{c_b} = \sum_{i=1}^n \frac{1}{c_i}$

Poprečno opterećene zavrtanske veze

Radno opterećenje (sila F_s) deluje poprečno na osu zavrtnja. Pomeranje (klizanje) spriječava sila trenja F_μ koja se dobija pritezanjem zavrtnja i ostvarivanjem sile F_b na dodiru spojenih delova. Sila trenja mora biti veća od poprečne sile F_s za stepen sigurnosti protiv klizanja $S_\mu = 1,2..1,8$. Ako je u dodiru i površina (sl.22a – $i=2$), dobija se

$$iF_b\mu = S_\mu F_s; \quad F_b = \frac{S_\mu F_s}{i\mu}; \quad F_p = \xi_p F_b$$

Labavljenje i samoodvrtanje, se kompenzuje uvećavanjem sile pritezanja, gde je faktor pritezanja $\xi_p = 1,5..2$ za statičke sile F_s i $\xi_p = 2..4$ za dinamičke sile i za veze koje su izložene vibracijama. Koeficijenti trenja su dati u tablici na slici 17. Proračun nepodešenih zavrtanskih veza se svodi na proveru stepena sigurnosti protiv plastičnih deformacija zavrtnja na kraju procesa pritezanja (odeljak 2.1). Za izradu nepodešenih zavrtanskih veza se koriste zavrtnji grube klase C i ugradjuju se u grubo obradjen otvor sa velikim zazorom.



Slika 22.
Poprečno opterećene zavrtanske veze: a) nepodešene, b) podešene

Podešene zavrtanske veze (sl.22b) se ostvaruju korišćenjem zavrtnja za tačno naleganje (tablica 8). Zavrtanj i otvor se precizno obradjuju i formira neizvesno naleganje, što ih čini skupljim od nepodešenih. Opterećenje se prenosi smicanjem stabla zavrtnja na pritiskom na dodirne površine stabla.

$$\tau = \frac{F_s}{iA} = \frac{4F_s}{iD_2^2\pi} \leq \tau_{sdoz}; \quad p_1 = \frac{F_s}{b_1 D_2} \leq p_{doz}; \quad p_2 = \frac{F_s}{2b_2 D_2} \leq p_{doz};$$

Dozvoljeni napon smicanja kreće se u granicama:

- Za statičko opterećenje

$$\tau_{sdoz} = \frac{R_e}{S} = \frac{R_e}{1,7} = 0,6R_e$$

- Za jednosmerno promenljivo dinamičko opterećenje

$$\tau_{sdoz} = \frac{R_e}{S} = \frac{R_e}{2} = 0,5R_e$$

- Za naizmenično promenljivo dinamičko opterećenje

$$\tau_{sdoz} = \frac{R_e}{S} = \frac{R_e}{2,5} = 0,4R_e$$

Za proračun može da se koristi i stepen sigurnosti protiv razaranja zavrtanske veze usled smicanja:

$$S_\tau = \frac{[\tau]}{\tau} \geq S_{\min} = 1,5 \dots 2.$$

Kritični napon zavrtanja $[\tau]$ je napon tečenja $\tau_T=0,7R_e$ za statičko naprezanje odnosno dinamička izdržljivost τ_{sD} za dinamičko naprezanje.

Kod površinskog pritiska proverava se najveći pritisak p_1 , p_2 ili p_3 u odnosu na p_{doz} za slabiji materijal u dodiru. Dozvoljeni površinski pritisak delova u dodiru kreće se u granicama:

- Za statičko opterećenje

$$p_{doz} = 1,2R_e \text{ (ili } 0,75 \cdot R_m)$$

- Za jednosmerno ili naizmenično promenljivo dinamičko opterećenje

$$p_{doz} = 0,9R_e \text{ (ili } 0,6 \cdot R_m).$$

Merodavna je granica tečenja R_e , odnosno zatezna čvrstoća R_m za slabiji materijal u dodiru.

Za delove od krtih materijala (npr. sivi liv) uzima se $p_{doz}=1,5 \cdot R_m$ za statičko opterećenje odnosno $p_{doz}=1,2 \cdot R_m$ za dinamičko opterećenje.

Smicajno opterećene zavrtanske veze se malo pritežu, najviše do $\sigma_p=0,2\sigma_{TM}$.

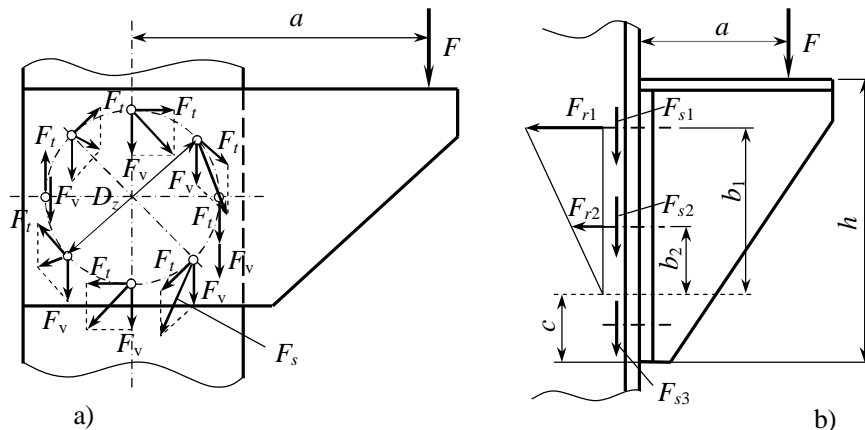
Grupne zavrtanske veze

Zavrtanske veze su po pravilu grupne, tj. koristi se više zavrtnjeva za prenošenje istog opterećenja. Kod uzdužno opterećenih veza ova se sila

najčešće ravnomerno rasporedjuje na sve zavrtnje. Kod nepodešenih poprečno opterećenih zavrtanjskih veza raspodela na sve zavrtnje je takođe ravnomerna ($\xi_r=1$). Kod podešenih zavrtanjskih veza raspodela je veoma neravnomerna, $F_s=(F_r/z)\xi_r$, a faktor neravnomernosti raspodele opterećenja $\xi_r=1,3\dots1,5$ pa i više, zavisno od tačnosti izrade. Potreba za visokom preciznošću izrade i neravnomerna raspodela opterećenja su razlozi zbog kojih se podešene zavrtanjske veze uglavnom ne koriste kod grupnih veza. Kao pojedinačne, znatno su veće nosivosti u poređenju sa nepodešenim.

Vrlo čest slučaj poprečno opterećene grupne zavrtanjske veze je veza polutki spojnica. Ako spojница prenosi obrtni moment T , a zavrtnji su raspoređeni na prečniku D , onda poprečna sila po svakom zavrtnju F_{s1} iznosi:

$$F_{s1} = \frac{2T}{z \cdot D} \cdot \xi_r .$$



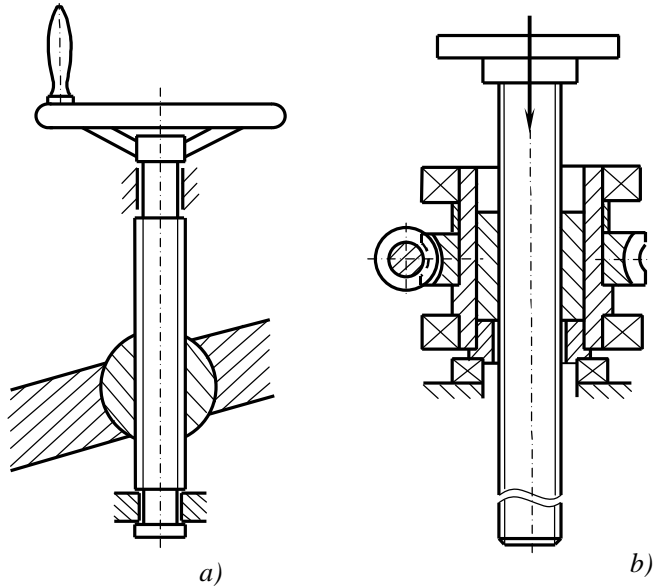
Slika 23
Kombinovano opterećene grupne zavrtanjske veze

Kombinovano opterećene zavrtanjske veze mogu biti izložene dejstvu više uzdužnih ili više poprečnih sila, kao i kombinovanom dejstvu uzdužnih i poprečnih sila. Na slici 23a prikazana je poprečno opterećena zavrtanjska vezu kod koje se sila F ravnomerno raspodeljuje u vertikalnom pravcu na svih z zavrtnjeva ($F_v=F/z$). Osim toga ova sila ostvaruje i moment koji stvara i drugu komponentu $F_t=2Fa/zD_z$. Pošto je rezultujuća poprečna sila F_s različita, proverava se najopterećeniji zavrtanj. Ako je zavrtanjska vezu izložena i uzdužnoj i poprečnoj sili (sl.23b), poprečna se ravnomerno raspodeljuje na zavrtnje ($F_{si}=F/z$), dok je uzdužna F_{ri} proporcionalna rastojanju od centra rotacije $F_{r1}:F_{r2}=b_1:b_2$, uz uslov ravnoteže $Fa=F_{r1}b_1+F_{r2}b_2$. Rastojanje centra (ose) rotacije c od kraja spojenih delova zavisi od krutosti na savijanje spojenih

delova. Za apsolutno krute spojene delove ovo rastojanje bi bilo $c=0$. Najnepovoljnije stanje je za $c=h/4$ koje realno nije ostvarivo jer su delovi obično povećane fleksione krutosti.

Pokretni navojni spojevi – navojni prenosnici

Pokretni navojni spojevi obezbeđuju spregnuto relativno kretanje spojenih delova, pretvaranje obrtnog kretanja u pravolinjsko kao i pretvaranje obrtnog momenta u aksijalnu silu. Osnovni delovi pokretnog navojnog spoja su deo sa spoljnjim navojem (navojno vreteno) i deo sa unutrašnjim navojem (navrtka) sa kojima su spojeni delovi između kojih se ostvaruje relativno kretanje. Pokretanje se može ostvarivati ručno (ručni pogon) i pomoću izvora mehaničke energije (motorni pogon). Primenuju se za definisanje tačnog relativnog odnosa pokretnih delova kod mernih instrumenata i mernih mašina, za podešavanje položaja radnih organa kod alatnih i drugih mašina, za transformaciju obrtnog momenta u uzdužnu силу kod dizalice sa navojnim vretenom, prese sa navojnim vretenom, kod ručnih alata za ostvarivanje trajnih i povremenih sila (stege, svlakači i sl.). Na slici 24 prikazana su dva primera pokretnog navojnog spoja, jedan sa ručnim pogonom, a drugi je sa motornim pogonom kod kojeg se navrtka okreće posredstvom pužnog prenosnog para.

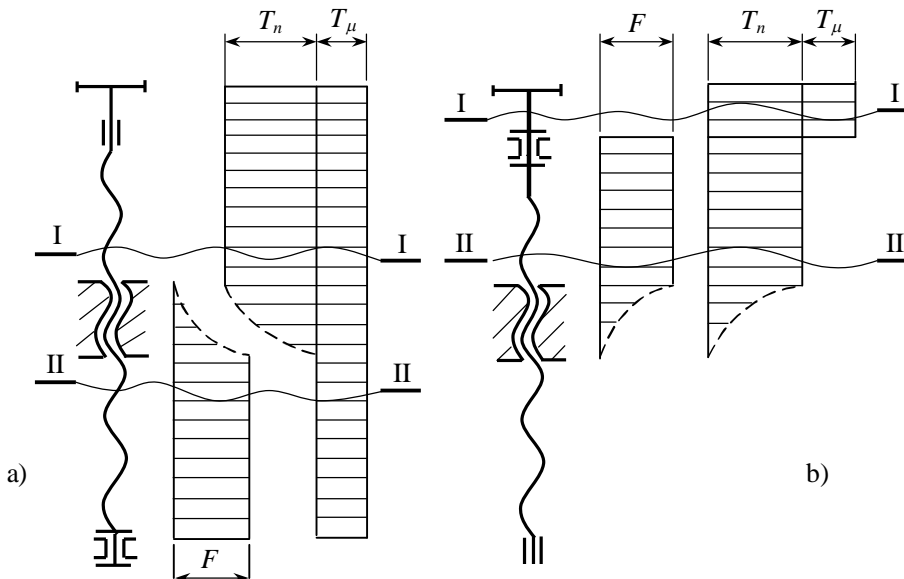


Slika 24.
Pokretni navojni spojevi: a) sa ručnim pogonom, b) sa motornim pogonom

U pravcu srednje zavojnice u navojnom paru ostvaruje se klizanje brzinom v_k koja je proporcionalna brzini aksijalnog kretanja v_a i obimnoj brzini u pravcu tangente na srednji cilindar navoja v_t . Pri svakom od n obrta ostvari se aksijalni pomeraj od jednog hoda navoja $P_h = zP$, gde je z -broj hodova navoja. Usled klizanja stepen iskorišćenja η pokretnog navojnog spoja nije veliki.

$$v_a = \frac{n}{60} P_h; \quad v_t = \frac{d_2 \pi n}{60}; \quad v_k = \sqrt{v_a^2 + v_t^2}; \quad \eta = \frac{\operatorname{tg} \varphi}{\operatorname{tg}(\varphi + \rho_n) + (d_\mu/d_2)\mu}$$

Na smanjenje stepena iskorišćenja pokretnog navojnog spoja utiče i trenje u aksijalnom osloncu navojnog vretena. Ako je ovaj oslonac klizni (sl.24a) srednji prečnik gde deluje sila trenja u ovom osloncu je d_μ . Ako je oslonac kotrljajni (sl.24b) ovaj prečnik $d_\mu=0$.



Slika 25

Opterećenje navojnog vretena: a) Moment deluje sa suprotne strane od aksijalnog oslonca, b) Moment deluje sa iste strane gde je i aksijalni oslonac

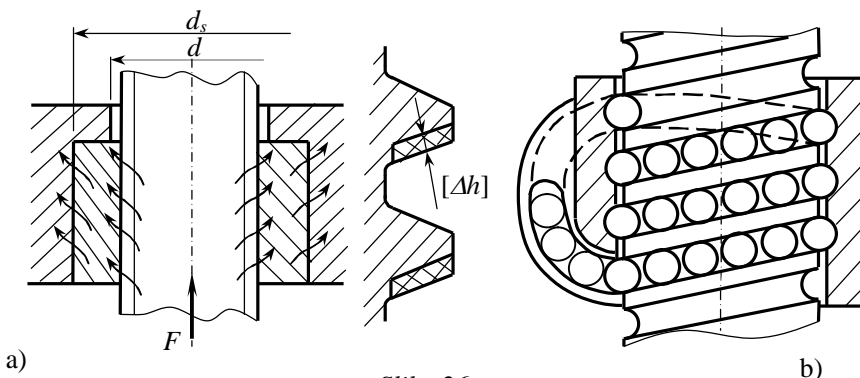
Navojno vreteno je izloženo dejstvu uzdužne sile F izmedju navrtke i aksijalnog oslonca (sl.25). Moment kojim se savladavaju otpori u navaju T_n i otpori u aksijalnom osloncu T_μ ($T = T_n + T_\mu$), kod nekih se vretena uvodi sa iste strane gde se nalazi aksijalni oslonac, a kod drugih sa suprotne strane, posmatrano u odnosu na navrtku. Na slici 25a obrtni moment se uvodi sa suprotne strane od aksijalnog oslonca tako da su moment i sila ravnomernije rasporedjeni duž

vretena. U drugom slučaju, kod kojeg se i moment i sila uvode sa iste strane (sl.25b), i aksijalno i torziono opterećenje trpi samo jedan deo vretena.

Navojno vreteno je u preseku I-I (sl.25) izloženo prostom naprezanju na uvijanje momentom $T_t=T=T_n+T_\mu$. Ako je u aksijalnom osloncu kotrljajni ležaj, $T_\mu=0$, $T_t=T_n$. Napon i stepen sigurnosti u ovom preseku su $\tau=T_t/0,2d_3^3$,

$S_\tau=\tau_{TM}/\tau$. U preseku II-II vreteno je osim uvijanja izloženo i zatezanju odnosno pritisku, a napon i stepen sigurnosti su $\sigma=F/A_3$; $S_\sigma=\sigma_{TM}/\sigma$.

Ukupni stepen sigurnosti u preseku II-II je $S=S_\sigma S_\tau/(S_\sigma^2+S_\tau^2)^{1/2}$. Kritični napon za navojno vreteno, po pravilu je statička čvrstoća σ_{TM} i τ_{TM} . Usled kretanja navrtke duž vretena, menja se položaj preseka sa najvećim naponom što značajno smanjuje mogućnost loma usled zamora.



Slika 26.
Navrta pokretnog navojnog spoja: a) klizna, b) kotrljajna

Navrta pokretnog navojnog spoja je veoma složeno napregnuta. Pod dejstvom sile F navojci su izloženi površinskom pritisku, savijanju i smicanju (odeljak 1.5). Usled klizanja i površinskog pritisaka, navojci navrtke se habaju tj. skida se sloj materijala koji je na slici 26a označen sa Δh . Zbog boljih kliznih svojstava, navrta je od brzine, najčešće kalajne, što dodatno smanjuje nosivost. Habanjem se smanjuje debljina navojaka, povećava se zazor i smanjuje tačnost navojnog spoja. Veličina pritiska koji se može dopustiti na dodiru navojaka zavisi od kritične pohabanosti $[\Delta h]$ tj. od brzine klizanja, vremena rada i potrebne tačnosti spoja. Za navojne spojeve ručnih alata to je oko 50 N/mm^2 , a kod navojnih prenosnika na motorni pogon 15 N/mm^2 . Za povećanu tačnost rada ovaj se pritisak smanjuje i do 5 N/mm^2 . Visoka tačnost položaja spojenih delova, smanjeni otpori kretanja i dovoljna nosivost postiže se primenom kotrljajne navrte i vretena (sl.26b). Navojci su zamenjeni zavoјnim žlebovima po kojima se kotrljaju kuglice. Kada kuglica stigne do kraja navrte,

vraća se na početak kroz povratni kanal za recirkulaciju. Osim navrtki sa kuglicama razvijene su i navrtke sa navojnim valjcima.